

บทที่ 5

วิจารณ์ผลการวิจัย

5.1 ผลการเสื่อมสภาพของอิฐ

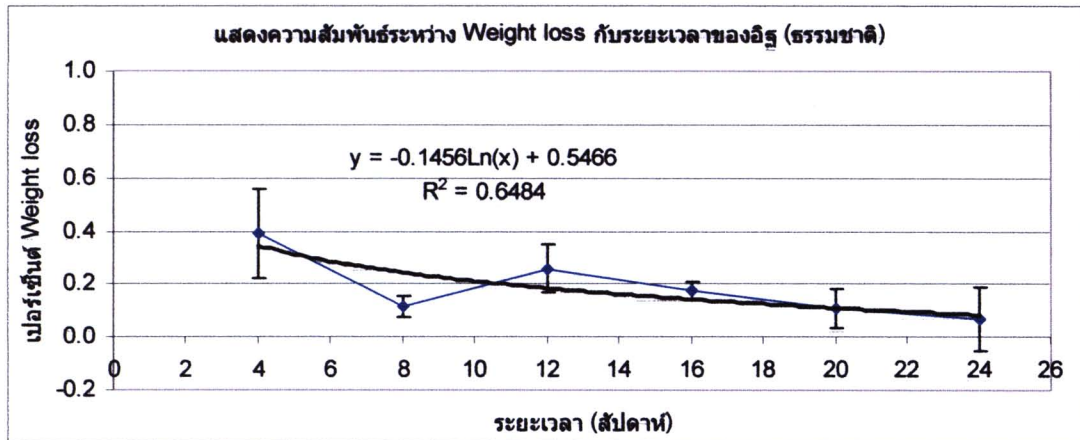
5.1.1 ผลการเสื่อมสภาพต่ออัตราการกัดกร่อนของอิฐ

ก. วิเคราะห์ผลการทดสอบอัตราการกัดกร่อนของอิฐ

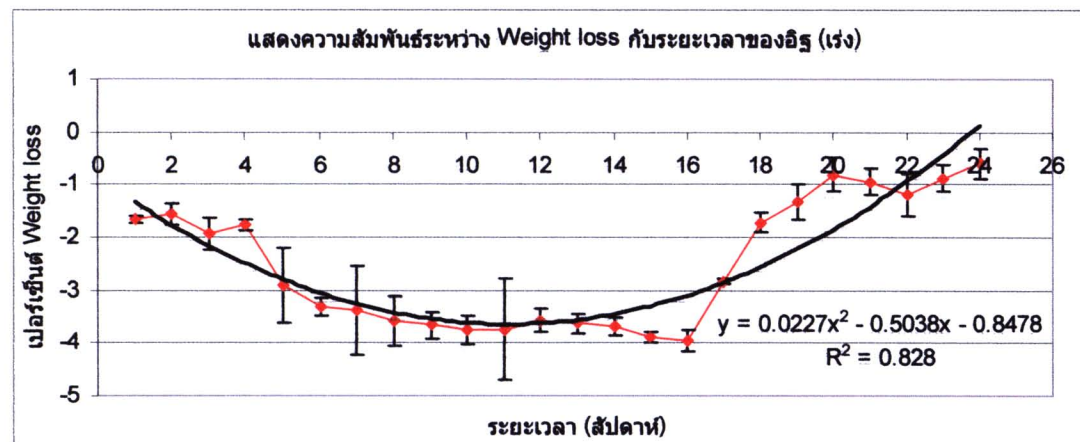
จากการทดสอบอัตราการกัดกร่อนของอิฐขนาด $6 \times 15 \times 3.5$ เซนติเมตร ภายใต้สภาพทึ่ง 3 รูปแบบ คือ (1) การกัดกร่อนตามกระบวนการของธรรมชาติ (2) การกัดกร่อนแบบเร่งปฏิกิริยา และ (3) การกัดกร่อนตามกระบวนการของธรรมชาติสลับกับแบบเร่งปฏิกิริยา นำรูปแบบที่ (1) กับ (2) มาหาความสัมพันธ์ระหว่างตัวแปรอิสระกับตัวแปรตาม โดยพิจารณาจากค่าสัมประสิทธิ์การตัดสินใจ (R^2) ของ 4 ตัวแบบ ได้แก่ Linear, Logarithmic, Quadratic และ Exponential ดังตาราง 5.1 โดยที่ตัวแบบใดที่มีค่าสัมประสิทธิ์การตัดสินใจสูง ตัวแบบนั้นสามารถที่จะใช้พยากรณ์ได้ ซึ่งจากตาราง 5.1 พบร่วมผลการทดสอบการกัดกร่อนตามกระบวนการของธรรมชาติมีความสัมพันธ์แบบ Logarithmic ซึ่งมีส่วนเบี่ยงเบนมาตรฐาน (SD) อยู่ในช่วง ± 0.034 ถึง $\pm 0.166\%$ และผลการทดสอบการกัดกร่อนแบบเร่งปฏิกิริยามีความสัมพันธ์แบบ Quadratic (SD อยู่ในช่วง ± 0.051 ถึง $\pm 0.961\%$) ดังรูป 5.1(ก) และ 5.1(ข) ตามลำดับ

ตาราง 5.1 เปรียบเทียบค่าสัมประสิทธิ์การตัดสินใจของตัวแบบในการวิเคราะห์ผลการทดสอบอัตราการกัดกร่อนของอิฐ

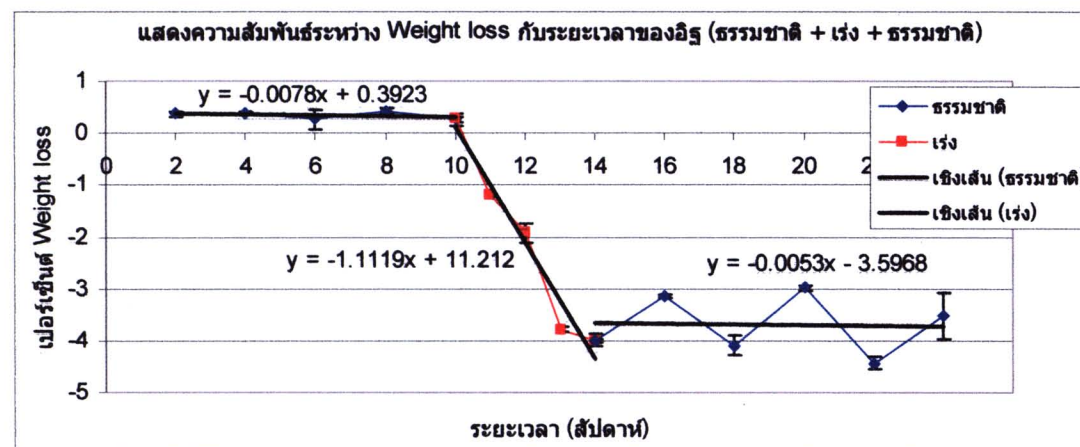
ตัวแปรตาม	ตัวแปรอิสระ	ตัวแบบ	R square	
			(1)ธรรมชาติ	(2)เร่งปฏิกิริยา
เปอร์เซ็นต์น้ำหนักที่หายไป ของอิฐ	เวลา	Linear	0.582	0.142
		Logarithmic	0.648	0.006
		Quadratic	0.601	0.828
		Exponential	0.611	-



(ก)



(ข)



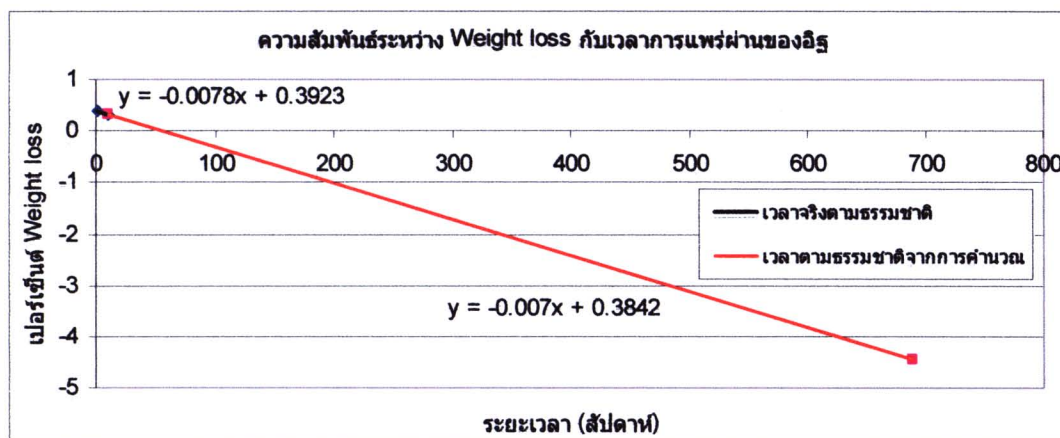
(ก)

รูป 5.1 ความสัมพันธ์ระหว่างระยะเวลากับปรอทเซ็นต์น้ำหนักที่หายไปของอิฐ

จากผลการศึกษาอัตราการกัดกร่อนของอิฐที่เสื่อมสภาพตามกระบวนการของธรรมชาติดัง
รูป 5.1(ก) พบร่วมในช่วงเวลาการทดสอบ 24 สัปดาห์ อิฐมีน้ำหนักที่ลดลง สังเกตจาก Weight loss

มีค่าเป็นบวก แต่มีแนวโน้มว่าจะมี Weight loss เป็นลบในระยะยาว (น้ำหนักเพิ่มขึ้น) ซึ่งสอดคล้องกับการทดสอบแบบเร่งปฏิกิริยา คือ ในระยะแรกมีแนวโน้มน้ำหนักของอิฐเพิ่มขึ้นเรื่อยๆ เหตุที่เป็นเช่นนี้ก็เป็นไปตามทฤษฎีที่ว่า เมื่อกรดกำมะถันทำปฏิกิริยากับสารประกอบในเนื้ออิฐ จะเกิดเป็นสารประกอบชั้ลเฟตหรือเกลือชัลเฟตแทรกซึ่งเข้าไปในเนื้อวัสดุ และเมื่อนำอิฐไปอบ น้ำที่จะระเหยออกที่ผิวนอกสุด แต่เกลือจะหายไม่ได้ เกลือจึงคงหลงอยู่ภายในช่องว่างรูพรุนของเนื้อวัสดุ ทำให้อิฐมีน้ำหนักเพิ่มขึ้น จากนั้นเมื่อนำอิฐไปเผากรด จะทำให้เกลือละลายน้ำกลายเป็นสารละลายอีกรังหนึ่ง การที่เกลือตกหล่นแล้วซึ้งเล่าจากการทดสอบแบบเร่งปฏิกิริยาภายใต้สภาวะเปียก สลับแห้ง ผลลัพธ์ของเกลือจะมีปริมาตรโตขึ้นเรื่อยๆ ทำให้เกิดแรงดันตรงผนังของรูพรุนและในที่สุดเนื้ออิฐจะแตกกระเทาะหลุดร่วงออก จึงทำให้อิฐเริ่มน้ำหนักลดลงและมีแนวโน้มที่จะมีน้ำหนักลดลงเรื่อยๆ สังเกตได้จากค่า Weight loss ที่เริ่มนิ่มค่าติดลบน้อยลงและอาจจะมีค่าเป็นบวกในที่สุด ดังรูป 5.1(ข) ดังนั้นจึงสามารถอธิบายได้ว่า การทดสอบแบบธรรมชาติที่มีความสัมพันธ์แบบ Logarithmic เป็นผลส่วนหนึ่งของการทดสอบแบบเร่งปฏิกิริยาที่มีความสัมพันธ์แบบ Quadratic โดยที่การทดสอบแบบเร่งปฏิกิริยาสามารถเร่งการเกิดเกลือและทำให้อิฐเกิดการเสื่อมสภาพได้เร็วกว่าการทดสอบแบบธรรมชาติตัวยกตัวแบบเดียวกัน

ส่วนการทดสอบการกัดกร่อนตามกระบวนการของธรรมชาติสลับกับแบบเร่งปฏิกิริยา จะมีเส้นแนวโน้มอยู่ 3 ช่วง ดังรูป 5.1(ค) ในส่วนของเส้นแนวโน้มช่วงที่ 1 และ 3 เป็นการทดสอบแบบธรรมชาติ พบว่า มีแนวโน้มว่าจะมีน้ำหนักของอิฐเพิ่มขึ้น แต่เพิ่มขึ้นในอัตราที่น้อยกว่าเมื่อเปรียบเทียบกับเส้นแนวโน้มช่วงที่ 2 ซึ่งเป็นการทดสอบแบบเร่งปฏิกิริยา เมื่อพิจารณากราฟเร่งปฏิกิริยาช่วงที่ 2 ในรูป 5.1(ค) พบว่ามีค่า Weight Loss ลดลงได้สูงกว่าช่วงเวลา 4 สัปดาห์จากการทดสอบแบบเร่งปฏิกิริยาในรูป 5.1(ข) ที่เป็นช่วงนี้สามารถอธิบายได้ว่า จากการทดสอบแบบธรรมชาติช่วงที่ 1 ในรูป 5.1(ค) อิฐจะมีเกลือละลายชนิดเกิดขึ้นจากธรรมชาติ ซึ่งเกลือแต่ละชนิดจะมีการขยายตัวของผลึกต่างกัน ดังนั้น เมื่อถึงกราฟช่วงที่ 2 ซึ่งเป็นการเร่งปฏิกิริยา เกลือชนิดต่างๆ นั้น จะทำให้อิฐมีค่า Weight Loss ลดลงได้สูงกว่าการทดสอบแบบเร่งปฏิกิริยาในรูป 5.1(ข) ซึ่งเกิดเกลือขึ้นเพียงชนิดเดียว และเมื่อนำเส้นแนวโน้มทั้งสามช่วงมาทำการเทียบการกระจายตัวของเวลาทดสอบ เพื่อให้เป็นระยะเวลาตามความเป็นจริง โดยมีค่าความชันของกราฟช่วงที่ 1 ($Vd_{r,r}$) = -0.0078, ความชันของกราฟช่วงที่ 3 ($Vd_{r,r}$) = -0.0053 และปริมาณการกัดกร่อนแบบเร่งปฏิกิริยาของกราฟช่วงที่ 2 ($X_{r,r}$) = 4.448 นำไปแทนในสมการที่ 2.16 จะได้ค่าเวลาการแพร่ผ่าน ($Td_{r,r}$) = 680 สัปดาห์ (คุณค่าวนะภาคผนวก 4.1) จากนั้นนำค่าเวลาแพร่ผ่านที่คำนวณได้ไปรวมกับเวลาจากการทดสอบของเส้นแนวโน้มช่วงที่ 1 = 10 สัปดาห์ จะได้ระยะเวลามากกว่าที่สามารถพยากรณ์อัตราการกัดกร่อนของอิฐทั้งหมด 690 สัปดาห์ หรือประมาณ 14.4 ปี ดังรูป 5.2



รูป 5.2 ความสัมพันธ์ระหว่างเปลอร์เซ็นต์น้ำหนักที่หายไปกับเวลาการแพร่ผ่านของอิฐ

๔. การประเมินและคาดคะเนอัตราการกัดกร่อนของอิฐ

จากสมการของเส้นแนวโน้มในรูป 5.1(ก) เป็นสมการสำหรับคาดคะเนอัตราการกัดกร่อนของอิฐที่เสื่อมสภาพตามกระบวนการของธรรมชาติภายใน ได้ระยะเวลาระบบทดสอบ 24 สัปดาห์ เท่านั้น ซึ่งแสดงให้เห็นว่าอิฐมีน้ำหนักลดลง โดยจากสมการของเส้นแนวโน้มในสัปดาห์ที่ 24 สามารถประเมินได้ว่าจะเกิดการกัดกร่อนของอิฐเท่ากับ 0.084 เปอร์เซ็นต์

การเทียบเวลาเร่งการทดสอบกับเวลาตามจริง เพื่อใช้ในการพยากรณ์อัตราการกัดกร่อนของอิฐ จะทำการเทียบระหว่างกราฟเวลาการแพร่ผ่าน (รูป 5.2) ซึ่งเป็นเวลาตามจริง ที่มีเส้นแนวโน้มของ Weight loss ลดลง (มีน้ำหนักเพิ่มขึ้น) กับกราฟการเร่งปฏิกิริยา (รูป 5.1(ข)) ในช่วงที่มีค่า Weight loss ลดลงได้สูงที่สุด จากราฟการเร่งปฏิกิริยาดังรูป 5.1(ข) สามารถประเมินได้ว่าอิฐจะมีค่า Weight loss ลดลงได้สูงสุดเท่ากับ -3.643 เปอร์เซ็นต์ ในระยะเวลาเร่งปฏิกิริยา 11.10 สัปดาห์ เมื่อนำมาเปรียบเทียบกับสมการเวลาการแพร่ผ่านในรูป 5.2 จะได้ว่า ที่เปลอร์เซ็นต์ Weight loss เท่ากับ -3.643 เปอร์เซ็นต์ จะเท่ากับระยะเวลาตามจริง 575.31 สัปดาห์

ดังนั้น ระยะเวลาเร่งปฏิกิริยา 11.10 สัปดาห์ เท่ากับระยะเวลาตามจริง 575.31 สัปดาห์

ถ้า ระยะเวลาเร่งปฏิกิริยา 1 สัปดาห์ จะเท่ากับระยะเวลาตามจริง 51.83 สัปดาห์

จะได้เวลาเร่งปฏิกิริยา (Acceleration Time, Ta) เทียบกับเวลาตามจริง (Natural Time, Tn) ดังนี้

$$T_n = 51.83 Ta \quad (5.1)$$

จากเส้นแนวโน้มในรูปที่ 5.1(ข) พิจารณาระยะเวลาที่สามารถคาดคะเนการกัดกร่อนได้นานที่สุด คือ 24 สัปดาห์ ซึ่งสามารถคาดคะเนได้ว่าจะเกิดการกัดกร่อนของอิฐเท่ากับ 0.1362 เปอร์เซ็นต์ นั่นหมายความว่า ในระยะเวลาตามจริง 1244 สัปดาห์ หรือประมาณ 25.9 ปี โบราณสถานที่สร้างจากอิฐคืนเพาจะเกิดการกัดกร่อนของอิฐเท่ากับ 0.1362 เปอร์เซ็นต์ ทั้งนี้ผลการคาดคะเนอัตราการกัดกร่อนของอิฐในงานวิจัยนี้ เกิดขึ้นจากการสัมผัสกับกรดกำมะถันเพียงปัจจัยเดียวเท่านั้น

น่องจากานี้ พัชร์วิໄล [8] ยังได้ทำการศึกษาการกัดกร่อนเพื่อใช้ในการคาดคะเนการกัดกร่อนของวัสดุ 4 ประเภท ของโบราณสถานที่จังหวัดพระนครศรีอยุธยา ดังตาราง 5.2 ซึ่งผลการคาดคะเนที่ได้ มีความสอดคล้องกัน คือ ออกไชค์ของชั้นเฟอร์ริโนธรรมชาติทั้งที่อยู่รูปของก้าชชั้นเฟอร์ริโนออกไชค์หรือกรุดำมະดัน ก็สามารถทำให้เกิดเกลือและสร้างความเสียหายทำให้กันโบราณสถานที่สร้างจากอิฐดินเผาได้เช่นกัน แต่ผลการคาดคะเนในตารางที่ 5.2 ไม่สามารถนำมาเปรียบเทียบกับงานวิจัยนี้ได้โดยตรง เนื่องจากสมมติฐานของการทดสอบต่างกัน

ตาราง 5.2 เปอร์เซ็นต์การกัดกร่อนของวัสดุที่เกิดขึ้นจากการสัมผัสก้าชซัลเฟอร์ไดออกไซด์ [8]

อัตราการกัดกร่อน (เปอร์เซนต์) **					
วัสดุ	ระยะเวลาในการสัมผัสก้าวขั้ลเพื่อรีดออกไซด์				
	1 ปี	5 ปี	10 ปี	50 ปี	100 ปี
อะซูเก่า	0.1578	0.7779	1.5530	7.7538	15.5049
อะซูปั๊บจุบัน	0.0263	0.1187	0.2341	1.1574	2.3116
ปูนปั้นเก่า	2.9041	14.5632	29.1371	T.D.	T.D.
ปูนปั้นปั๊บจุบัน	1.1433	5.7423	11.4911	57.4811	T.D.

หมายเหตุ : T.D. หมายถึง วัสดุเดิมการหักดักชื่อหน่วย อันเนื่องมาจากภาระน้ำที่เกิดขึ้นและการแยก

* ภายใต้สมมติฐานจากการให้วัสดุปูกลบากขนาด $2.5 \times 2.5 \times 2.5$ เซนติเมตรเมตร สำหรับกับการซัลเฟอร์ไดออกไซด์ความเข้มข้น $50-800$ ㎎/㎡ ในสภาวะบรรยากาศ ที่อุณหภูมิ $29.5 + 2$ องศาเซลเซียส และที่ความชื้นต่ำพังท์ $65 + 10$ เปอร์เซ็นต์

5.1.2 ผลการเรียนรู้ภาษาพื้นเมืองอีสาน

ก. วิเคราะห์ผลการทดสอบจำลังอัคูช่องอิริ

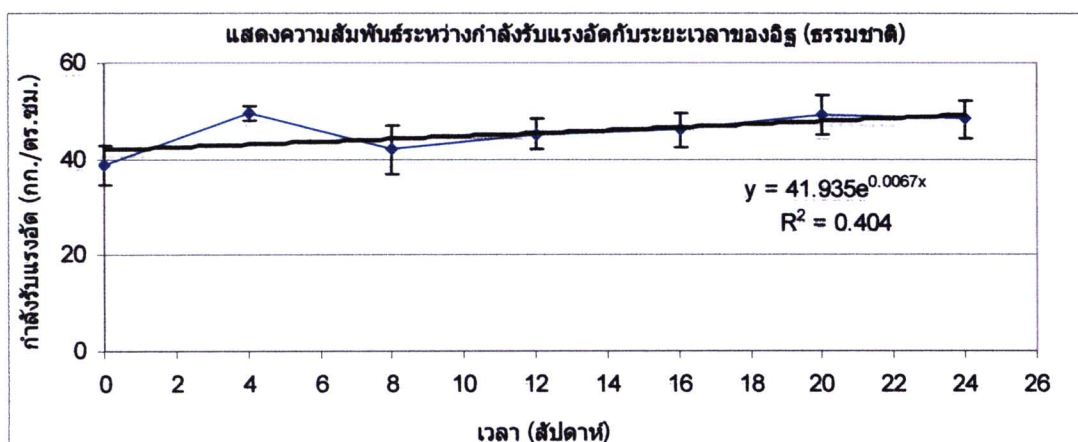
จากการทดสอบกำลังรับแรงอัคของอิฐภายนอก $3 \times 3 \times 6$ เซนติเมตรทั้ง 3 รูปแบบ คือ (1) การเสื่อมสภาพตามกระบวนการของธรรมชาติ (2) การเสื่อมสภาพแบบเร่งปฏิกิริยา และ (3) การเสื่อมสภาพตามกระบวนการของธรรมชาติส่วนกับการเสื่อมสภาพแบบเร่งปฏิกิริยา นำรูปแบบที่ (1) กับ (2) มาหาความสัมพันธ์ โดยพิจารณาจากค่าสัมประสิทธิ์การตัดสินใจ (R Square) ดังตาราง 5.3 พบร่วมผลการทดสอบกำลังรับแรงอัคของอิฐที่เสื่อมสภาพตามกระบวนการของธรรมชาติมีความสัมพันธ์แบบ Exponential (SD อยู่ในช่วง ± 1.405 ถึง ± 4.961 ksc.) และผลการทดสอบกำลังรับแรงอัคของอิฐที่เสื่อมสภาพแบบเร่งปฏิกิริยามีความสัมพันธ์แบบ Quadratic (SD อยู่ในช่วง ± 0.165 ถึง ± 11.590 ksc.) ดังรูป 5.3(ก) และ 5.3(ข) ตามลำดับ



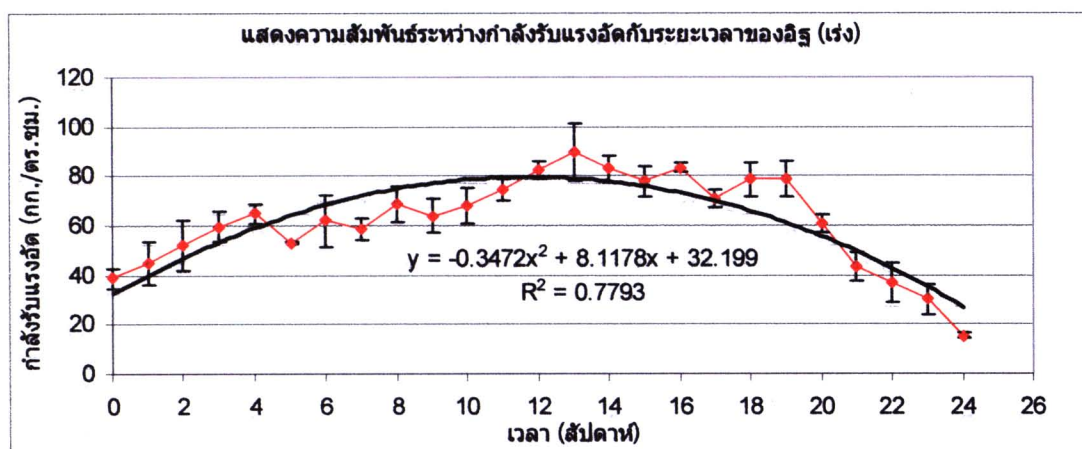
ตาราง 5.3 เปรียบเทียบค่าสัมประสิทธิ์การตัดสินใจของตัวแบบในการวิเคราะห์ผลการทดสอบ

กำลังรับแรงอัดของอิฐ

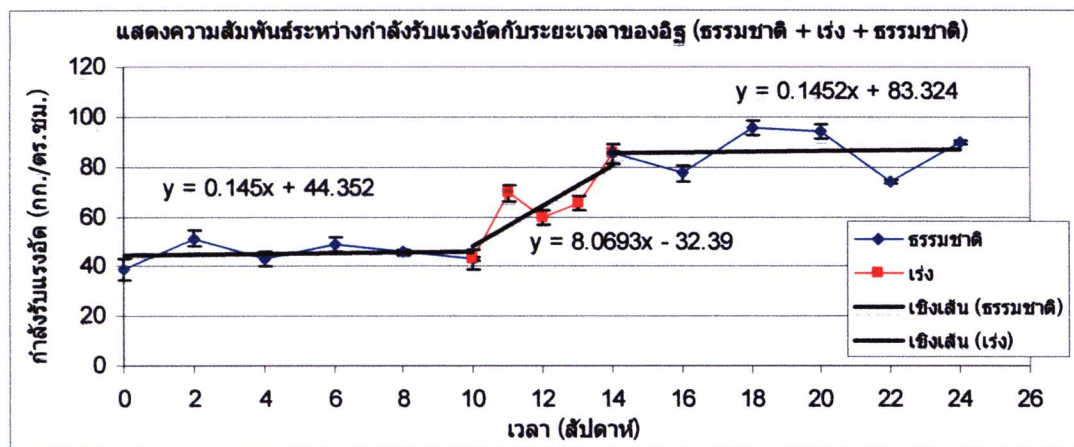
ตัวเปรียบ	ตัวแปรอิสระ	ตัวแบบ	R square	
			(1)ธรรมชาติ	(2)เร่งปฏิกิริยา
กำลังรับแรงอัดของอิฐ	เวลา	Linear	0.390	0.007
		Logarithmic	-	-
		Quadratic	0.401	0.779
		Exponential	0.404	0.046



(ก)



(ข)

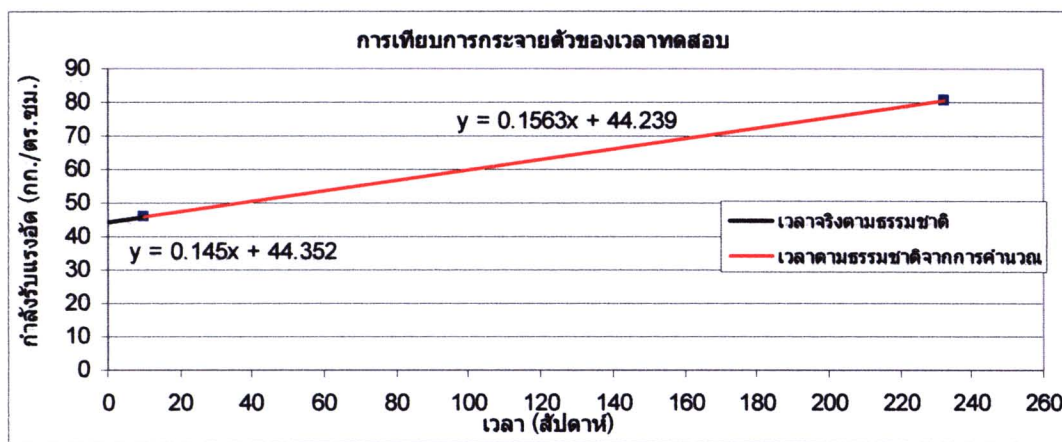


(ก)

รูป 5.3 ความสัมพันธ์ระหว่างระยะเวลา กับกำลังอัดของอิฐ

จากผลการศึกษากำลังรับแรงอัดของอิฐที่เสื่อมสภาพตามกระบวนการของธรรมชาติดังรูป 5.3 (ก) พบว่า ในช่วงเวลาการทดสอบ 24 สัปดาห์ อิฐมีกำลังอัดเพิ่มขึ้นและมีแนวโน้มว่าจะมีกำลังอัดเพิ่มขึ้นเรื่อยๆ ซึ่งสอดคล้องกับการทดสอบแบบเร่งปฏิกิริยา คือ ในระยะแรกมีแนวโน้มกำลังอัดของอิฐเพิ่มขึ้นเรื่อยๆ สาเหตุที่ทำให้อิฐมีกำลังอัดเพิ่มขึ้นอาจอธิบายได้ว่า การเกิดเคลื่อนในเนื้ออิฐช่วยส่งถ่ายแรงในช่องว่างรูพรุน ทำให้อิฐมีพื้นที่รับแรงมาก จึงส่งผลให้กำลังอัดของอิฐเพิ่มขึ้นตามไปด้วย แต่มีผลลัพธ์เคลื่อนตัวขึ้นจนเต็มรูพรุนและมีแรงดันทำให้เนื้ออิฐแตกกระเทาะ ทำให้อิฐมีพื้นที่รับแรงน้อยลง จึงส่งผลให้กำลังอัดของอิฐลดลงเรื่อยๆ แล้วก็สิ้นสุด แสดงให้เห็นว่า กำลังอัดที่มีค่าน้อยลงจนเข้าใกล้ศูนย์ดังรูป 5.3(ข) ดังนั้นจึงสามารถอธิบายได้ว่า การทดสอบแบบธรรมชาติที่มีความสัมพันธ์แบบ Exponential เป็นผลส่วนหนึ่งของการเร่งปฏิกิริยาที่มีความสัมพันธ์แบบ Quadratic โดยที่การทดสอบแบบเร่งปฏิกิริยาสามารถเร่งการเสื่อมสภาพได้เร็วกว่าการทดสอบแบบธรรมชาติตัวยก合一แบบเดียวกัน

ส่วนการทดสอบกำลังรับแรงอัดของอิฐที่เสื่อมสภาพตามกระบวนการของธรรมชาติสลับกับแบบเร่งปฏิกิริยาดังรูป 5.3(ค) มีความสอดคล้องกับการทดสอบอัตราการกัดกร่อนของอิฐ คือ ถ้าอิฐมีน้ำหนักเพิ่มขึ้น จะส่งผลทำให้กำลังอัดของอิฐเพิ่มขึ้นด้วยเช่นกัน และเมื่อทำการเทียบการกระจายตัวของเวลาทดสอบ โดยมีค่าความชันของกราฟช่วงที่ 1 (Vd_1) = 0.1450, ความชันของกราฟช่วงที่ 3 (Vd_3) = 0.1452 และปริมาณการกัดกร่อนแบบเร่งปฏิกิริยาของกราฟช่วงที่ 2 (X_{t-t}) = 32.277 นำไปแทนในสมการที่ 2.16 จะได้ค่าเวลาการแพร่ผ่าน (Diffusion Conversion Time, Td_{t-t}) = 222 สัปดาห์ (คุณภาพกวนที่ 2) นำค่าเวลาการแพร่ผ่านที่คำนวณได้ไปรวมกับเวลาจากเส้นแนวโน้มช่วงที่ 1 = 10 สัปดาห์ จะได้ระยะเวลาตามจริงที่สามารถคาดคะเนกำลังรับแรงอัดของอิฐทั้งหมด 232 สัปดาห์ (ประมาณ 4.8 ปี) ดังรูป 5.4



รูป 5.4 ความสัมพันธ์ระหว่างกำลังรับแรงอัดกับเวลาการแพร์เพอร์ผ่านของอิฐ

๔. การประเมินและคาดคะเนกำลังรับแรงอัดของอิฐ

จากสมการของเส้นแนวโน้มในรูป 5.3(ก) เป็นสมการสำหรับคาดคะเนกำลังรับแรงอัดของอิฐที่เสื่อมสภาพตามกระบวนการของธรรมชาติภายในตัวอย่างให้ระยะเวลาการทดสอบ 24 สัปดาห์ เท่านั้น ซึ่งแสดงให้เห็นว่าอิฐมีแนวโน้มของกำลังอัดที่เพิ่มขึ้น โดยจากการเส้นแนวโน้มในสัปดาห์ที่ 24 สามารถประเมินได้ว่ากำลังอัดของอิฐจะมีค่าเท่ากับ 49.25 กก./ตร.ซม.

การเทียบเวลาเร่งการทดสอบกับเวลาตามจริง เพื่อใช้ในการพยากรณ์กำลังรับแรงอัดของอิฐ จะทำการเทียบระหว่างกราฟเวลาการแพร์เพอร์ผ่าน (รูป 5.4) ซึ่งเป็นเวลาตามจริง ที่มีลักษณะเส้นแนวโน้มของกำลังอัดเพิ่มขึ้น กับกราฟการเร่งปฏิกิริยา (รูป 5.3(ข)) ในช่วงที่มีค่ากำลังอัดเพิ่มขึ้น ได้สูงที่สุด จากกราฟการเร่งปฏิกิริยาดังรูป 5.3(ข) สามารถประเมินได้ว่าอิฐจะมีกำลังรับแรงอัดเพิ่มขึ้น ได้สูงสุดเท่ากับ 79.65 กก./ตร.ซม. ในระยะเวลาเร่งปฏิกิริยา 11.69 สัปดาห์ เมื่อนำมาเปรียบเทียบกับสมการเวลาการแพร์เพอร์ผ่านในรูปที่ 5.4 พนว่าที่กำลังรับแรงอัดเท่ากับ 79.65 กก./ตร.ซม. จะเท่ากับระยะเวลาตามจริง 225.83 สัปดาห์

ดังนั้น ระยะเวลาเร่งปฏิกิริยา 11.69 สัปดาห์ เท่ากับระยะเวลาตามจริง 225.83 สัปดาห์

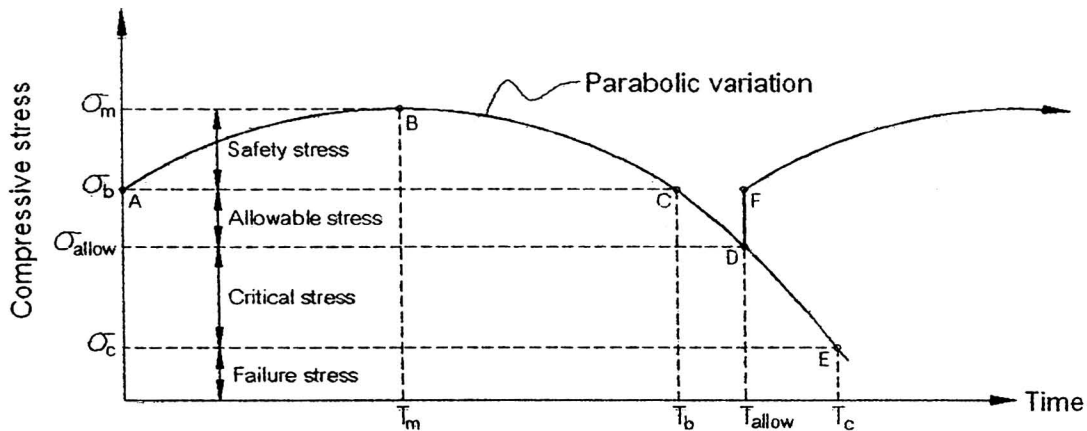
ถ้า ระยะเวลาเร่งปฏิกิริยา 1 สัปดาห์ จะเท่ากับระยะเวลาตามจริง 19.32 สัปดาห์

จะได้เวลาเร่งปฏิกิริยา (Acceleration Time, Ta) เทียบกับเวลาตามจริง (Natural Time, Tn) ดังนี้

$$Tn = 19.32 Ta \quad (5.2)$$

และจากเส้นแนวโน้มในรูป 5.3(ข) หากพิจารณาระยะเวลาเร่งที่สามารถคาดคะเนกำลังอัดได้นานที่สุด คือ 24 สัปดาห์ ซึ่งสามารถคาดคะเนได้ว่าจะมีกำลังอัดของอิฐเท่ากับ 27.04 กก./ตร.ซม. นั่นหมายความว่า ในระยะเวลาตามจริง 463.7 สัปดาห์ หรือประมาณ 9.6 ปี โบราณสถานที่สร้างจากอิฐคินเผาจะมีกำลังรับแรงอัดของอิฐเหลืออยู่เท่ากับ 27.04 กก./ตร.ซม. ทั้งนี้ผลการคาดคะเนอัตราการกัดกร่อนของอิฐในงานวิจัยนี้ เกิดขึ้นจากการสัมผัสกับกรด含まれถันเพียงปัจจัยเดียวเท่านั้น

ในการประยุกต์ใช้ผลการวิจัยเพื่อคาดคะเนระยะเวลาที่เหมาะสมในการทำนูบารุง ซึ่งอาจจะส่งผลต่อกำลังของโครงสร้างโดยรวมสถาน โดยสามารถจำลองเป็นแนวคิดสำหรับประเมินระยะเวลาที่เหมาะสมในการทำนูบารุงโดยรวมสถานที่สร้างด้วยอิฐคินเพาได้ดังรูป 5.5

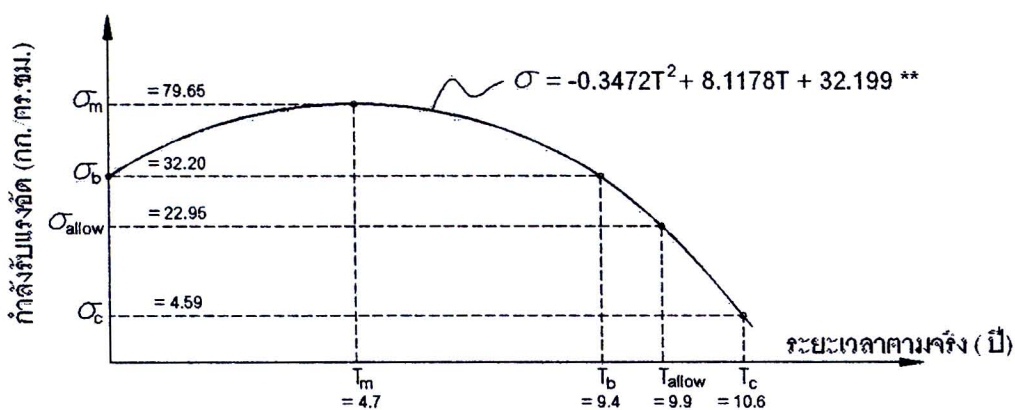


รูปที่ 5.5 แนวคิดสำหรับประเมินการเสื่อมสภาพของอิฐคินเพา กับเวลาที่เหมาะสมในการทำนูบารุง

- โดยที่ σ_c คือ หน่วยแรงอัคสูงสุด (Critical Stress) ที่เกิดขึ้นจากการวิเคราะห์ทางพลศาสตร์
 σ_{allow} คือ หน่วยแรงอัคที่ยอมให้เกิดขึ้น (Allowable Stress) = $\sigma_c \times SF$
 σ_b คือ กำลังรับแรงอัคเริ่มต้นของอิฐ (Compressive Strength of brick)
 σ_m คือ กำลังรับแรงอัคของอิฐที่สามารถเพิ่มได้สูงสุด (Maximum Strength of brick)
 T_m คือ เวลาที่อิฐมีกำลังรับแรงอัคสูงสุด
 T_b คือ เวลาที่กำลังรับแรงอัคของอิฐมีค่าเท่ากับกำลังรับแรงอัคเริ่มต้น
 T_{allow} คือ เวลาที่เหมาะสมในการทำนูบารุง
 T_c คือ เวลาที่เริ่มเกิดการวินาศัยของอิฐ

จากรูป 5.5 เป็นกระบวนการเสื่อมสภาพของอิฐคินเพา โดยกำหนดให้จุด A เป็นจุดเริ่มต้นของการเริ่มก่อสร้างโดยรวมสถาน ซึ่งจะมีกำลังรับแรงอัคเริ่มต้นของอิฐเท่ากับ σ_b เมื่อผ่านการใช้งานไประยะหนึ่งจนถึงจุด B อิฐจะมีกำลังรับแรงอัคเพิ่มขึ้น ได้สูงสุดเท่ากับ σ_m เนื่องจากการเกิดเกลือในช่องว่างรูพรุนของอิฐทำให้อิฐมีกำลังรับแรงอัคเพิ่มขึ้น (Safety) หลังจากนั้นเกลือจะเริ่มเดินรูพรุน ทำให้อิฐเริ่มแตกกระเทาะจนทำให้มีกำลังรับแรงอัคลดลงเรื่อยๆ จนถึงจุด C ซึ่งอิฐจะมีค่ากำลังรับแรงอัคเท่ากับ σ_c อีกครั้งหนึ่ง (Allowable) เมื่อกำลังรับแรงอัคลดลงจนถึงจุด D การทำการบูรณะซ่อมแซมใหม่ (Critical) หากปล่อยให้กำลังอัคลดลงจนถึงจุด E อาจเกิดการวินาศัยของโครงสร้างบางส่วนได้ (Failure) หลังจากที่ทำการบูรณะซ่อมแซมใหม่ที่จุด D จะทำให้อิฐมีกำลังรับแรงอัคเริ่มต้นใหม่อีกครั้งที่จุด F จากนั้นจะเริ่มเข้าสู่กระบวนการเสื่อมสภาพต่อไป

ตัวอย่างการคำนวณเวลาที่เหมาะสมในการทำนุบำรุงโบราณสถาน กรณีของเจดีย์วัดหัวข่วง อ.เมือง จ.เชียงใหม่ ซึ่งจากการวิเคราะห์โครงสร้างทางพลศาสตร์คุณภาพดีไฟในห้องอิลิเมนต์ พบว่าแรงแสดงในเจดีย์ทำให้เกิดหน่วยแรงอัคสูงสุด (σ_c) บริเวณส่วนที่เป็นยอดคอกตอนกลางของเจดีย์เท่ากับ 4.59 กก./ตร.ซม. ตามมาตรฐานสำหรับอาคารวัสดุก่อของวิศวกรรมสถานแห่งประเทศไทย กำหนดให้ใช้อัตราส่วนความปลดปล่อยเท่ากับ 5 ดังนั้นหน่วยแรงอัคที่ยอมให้ (σ_{allow}) มีค่าเท่ากับ 22.95 กก./ตร.ซม. จากสมการของเส้นแนวโน้มในรูป 5.3(ข) และแนวคิดสำหรับประเมินการเสื่อมสภาพของอิฐดินเผาในรูป 5.5 สามารถหาค่ากำลังขัดของอิฐและระยะเวลาต่างๆ ได้ดังนี้



หมายเหตุ : ** ภายใต้การทดสอบแบบเร่งปั๊กิริยาในสภาวะเปียกสลับแห้ง สัมผัสนักกรดกำมะถันความเข้มข้นร้อยละ 3 ในระยะเวลา 24 วัน

รูป 5.6 การประเมินการเสื่อมสภาพและเวลาที่เหมาะสมในการทำนุบำรุงของเจดีย์วัดหัวข่วง

จากรูป 5.6 สามารถคำนวณได้ว่า (คุณภาพคำนวณรากที่ 4.7) ที่เวลา 4.7 ปี อิฐจะมีกำลังขัดเพิ่มขึ้นไปสูงสุดเท่ากับ 79.65 กก./ตร.ซม. เมื่อเวลาผ่านไป 9.4 ปี อิฐจะมีกำลังขัดลดเหลือ 32.20 กก./ตร.ซม. เวลาที่เหมาะสมในการทำนุบำรุงเจดีย์วัดหัวข่วงเท่ากับ 9.9 ปี (สมการพยากรณ์กำลังรับแรงอัคของอิฐสามารถพยากรณ์ได้ 9.6 ปี แต่เพื่อให้ความเชื่อใจในการประยุกต์ใช้สมการ จึงใช้สมการนี้พยากรณ์ต่อให้ครบถ้วนตัวแปร) และถ้าไม่ทำการซ่อมบำรุงจะเกิดการวินาศัยของอิฐที่เวลา 10.6 ปี โดยในการบูรณะจริง ไม่จำเป็นต้องบูรณะใหม่หมดทั้งองค์ แต่สามารถบูรณะเฉพาะจุดที่เกิดหน่วยแรงอัคสูงสุดเท่านั้น และจากการวิจัยของ Kuchitsu [28] พบว่า การฉาบปูนปิดผิวอิฐจะทำให้มีความชื้นภายใน ซึ่งความชื้นจะทำให้เกิดออกซิเจนในรูปของสารละลายตลอด ดังนั้น หลังจากบูรณะโครงสร้างที่เป็นอิฐเสร็จแล้ว ควรฉาบปูนปิดผิวอิฐด้วยปูนซีเมนต์ปอร์ตแลนด์ เพื่อให้เกลือออกผลึกที่ผิวน้ำมันด้านนอก เพียงแต่ต้องหมั่นตรวจสอบสภาพของปูนฉาบนบ่อยครั้ง หรืออิกวิธีหนึ่งอาจปิดด้วยแผ่นทอง ซึ่งสามารถขัดเวลาการตรวจสอบได้นานขึ้น โดยทั้งนี้ ผลประเมินการเสื่อมสภาพของอิฐที่คำนวณได้นั้น เกิดขึ้นจากการสัมผัสรดกำมะถันเพียงปัจจัยเดียวเท่านั้น

5.2 ผลการเสื่อมสภาพของมอร์ต้าร์

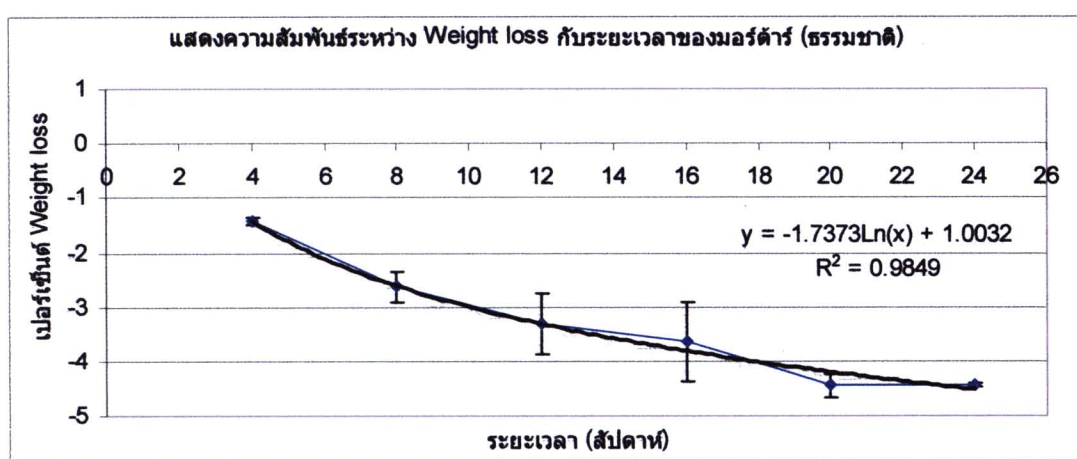
5.2.1 ผลการเสื่อมสภาพค่าอัตราการกัดกร่อนของมอร์ต้าร์

ก. วิเคราะห์ผลการทดสอบอัตราการกัดกร่อนของมอร์ต้าร์

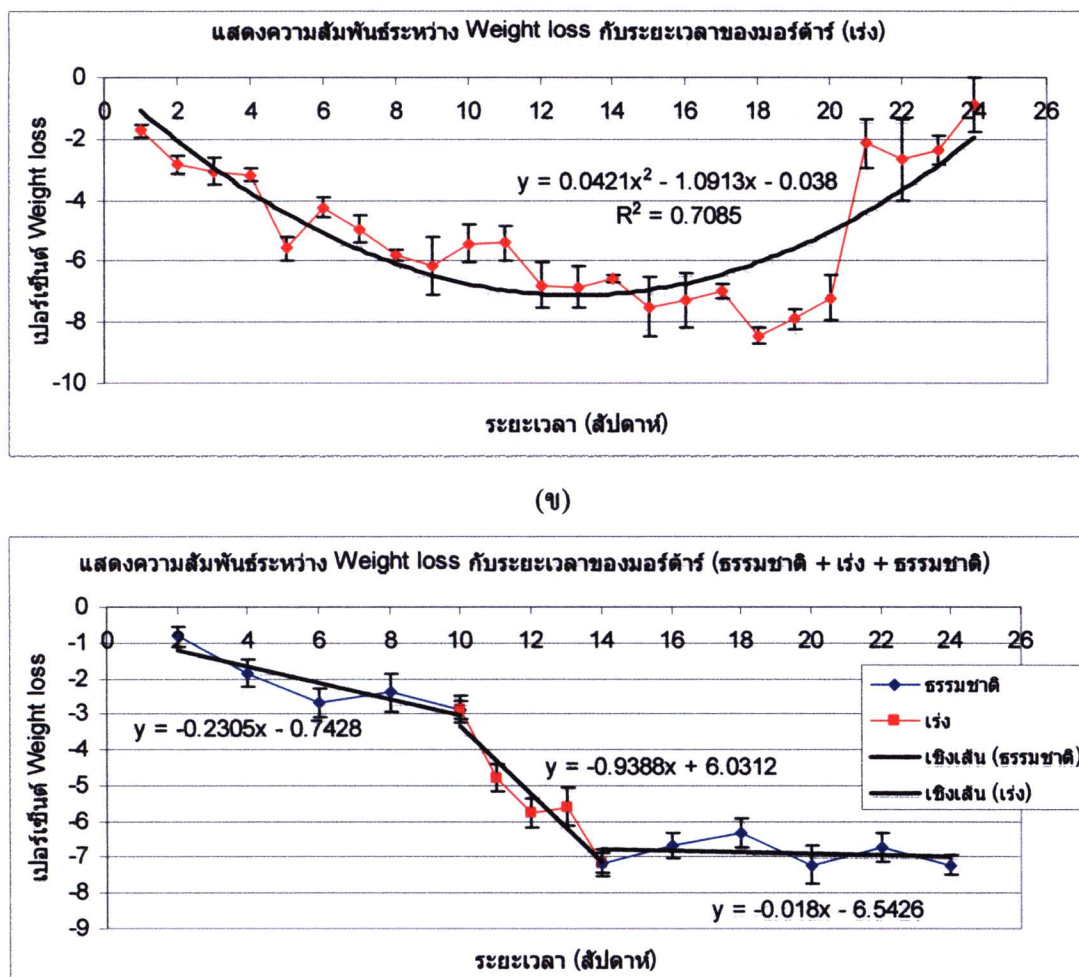
จากผลการทดสอบอัตราการกัดกร่อนของมอร์ต้าร์ขนาด $5 \times 5 \times 5$ เซนติเมตร ภายใต้สภาพทึ่ง 3 รูปแบบ คือ (1) การกัดกร่อนตามกระบวนการของธรรมชาติ (2) การกัดกร่อนแบบเร่งปฏิกิริยา และ (3) การกัดกร่อนตามกระบวนการของธรรมชาติสลับกันแบบเร่งปฏิกิริยา นำรูปแบบที่ (1) กับ (2) มาหาความสัมพันธ์ระหว่างตัวแปรอิสระกับตัวแปรตาม จากค่าสัมประสิทธิ์การตัดสินใจ (R^2) ดังตาราง 5.4 พบว่าผลการทดสอบการกัดกร่อนตามกระบวนการของธรรมชาติของมอร์ต้าร์มีความสัมพันธ์แบบ Logarithmic (SD อยู่ในช่วง ± 0.039 ถึง $\pm 0.731\%$) และผลการทดสอบการกัดกร่อนแบบเร่งปฏิกิริยามีความสัมพันธ์แบบ Quadratic (SD อยู่ในช่วง ± 0.104 ถึง $\pm 1.332\%$) ดังรูป 5.7(ก) และ 5.7(ข) ตามลำดับ

ตาราง 5.4 เปรียบเทียบค่าสัมประสิทธิ์การตัดสินใจของตัวแบบในการวิเคราะห์ผลการทดสอบอัตราการกัดกร่อนของมอร์ต้าร์

ตัวแปรตาม	ตัวแปรอิสระ	ตัวแบบ	R^2	
			(1)ธรรมชาติ	(2)เร่งปฏิกิริยา
เปลี่ยนตัวหนักที่หายไป ของมอร์ต้าร์	เวลา	Linear	0.928	0.015
		Logarithmic	0.985	0.125
		Quadratic	0.981	0.708
		Exponential	-	-



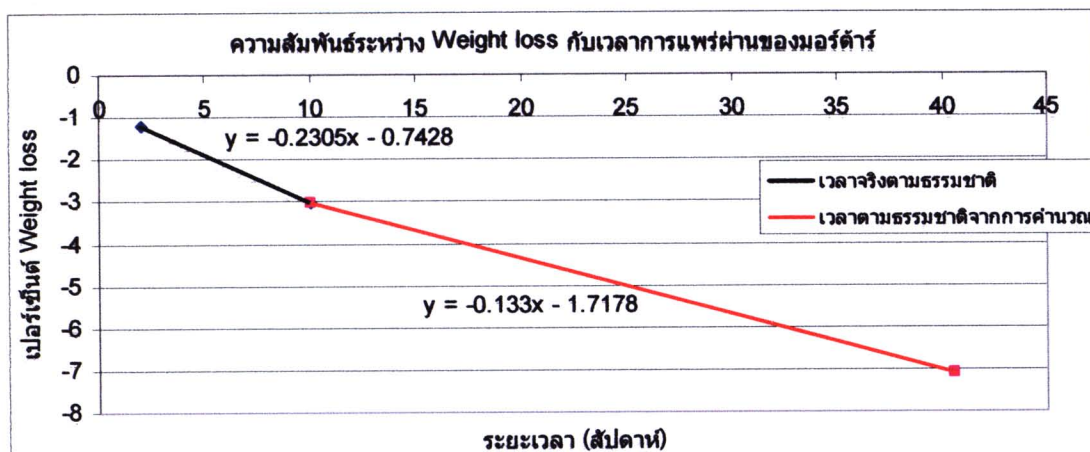
(ก)



รูป 5.7 ความสัมพันธ์ระหว่างระยะเวลากับปรอทเร็นต์น้ำหนักที่หายไปของนอร์ต้าร์

จากผลการศึกษาอัตราการกัดกร่อนของนอร์ต้าร์ที่เสื่อมสภาพตามกระบวนการของธรรมชาติดังรูป 5.7(ก) พบร่วมกับในช่วงเวลาการทดสอบ 24 สัปดาห์ มีแนวโน้มของ Weight loss ลดลง (น้ำหนักเพิ่มขึ้น) สังเกตได้จากค่า Weight loss ที่มีค่าเป็นลบ แต่ลดลงในอัตราที่น้อยกว่าเมื่อเทียบกับการทดสอบแบบเร่งปฏิกิริยา ซึ่งสาเหตุที่ทำให้มอร์ต้าร์มีน้ำหนักเพิ่มขึ้น อาจเกิดจาก การตกหลักของเกลือในช่องว่างรูพรุน และในระยะยาวจะมีค่า Weight loss ที่เริ่มติดลบน้อยลงและอาจจะมีค่าเป็นบวกในที่สุดดังรูป 5.7(ข) ดังนั้นจึงสามารถอธิบายได้ว่า การทดสอบอัตราการกัดกร่อนของนอร์ต้าร์แบบธรรมชาติที่มีความสัมพันธ์แบบ Logarithmic เป็นผลส่วนหนึ่งในช่วงต้นของการทดสอบแบบเร่งปฏิกิริยาที่มีความสัมพันธ์แบบ Quadratic ซึ่งมีกลไกของการเสื่อมสภาพแบบเดียวกัน

ส่วนการทดสอบการกัดกร่อนตามกระบวนการของธรรมชาติสัมภับแบบเร่งปฏิกิริยาของมอร์ต้าร์ดังรูป 5.7(ค) พบว่ามีลักษณะของเส้นแนวโน้มคล้ายกับผลการกัดกร่อนของอิฐ คือเส้นแนวโน้มช่วงที่ 1 และ 3 มีแนวโน้มของน้ำหนักมอร์ต้าร์เพิ่มขึ้น แต่เพิ่มขึ้นในอัตราที่น้อยกว่าเมื่อเปรียบเทียบกับเส้นแนวโน้มช่วงที่ 2 ซึ่งเป็นการทดสอบแบบเร่งปฏิกิริยา และเมื่อนำเส้นแนวโน้มทั้งสามช่วงมาทำการเทียบการกระจายตัวของเวลาทดสอบ โดยมีค่าความชันของกราฟช่วงที่ 1 (Vd_1) = -0.2305, ความชันของกราฟช่วงที่ 3 (Vd_3) = -0.0180 และปริมาณการกัดกร่อนแบบเร่งปฏิกิริยาของกราฟช่วงที่ 2 ($X_{t_{r,r}}$) = 3.755 นำไปแทนในสมการที่ 2.16 จะได้ค่าเวลาการแพร่ผ่าน (Diffusion Conversion Time, $Td_{t_{r,r}}$) = 30.6 สัปดาห์ (ดูการคำนวณภาคผนวก 4.3) จากนั้นนำค่าเวลาการแพร่ผ่านที่คำนวณได้ไปรวมกับเวลาจาก การทดสอบของเส้นแนวโน้มช่วงที่ 1 = 10 สัปดาห์ จะได้ระยะเวลาตามจริงที่สามารถพยากรณ์อัตราการกัดกร่อนของมอร์ต้าร์ทั้งหมด 40.6 สัปดาห์ หรือประมาณ 0.8 ปี ดังรูป 5.8



รูป 5.8 ความสัมพันธ์ระหว่างเบอร์เซ็นต์น้ำหนักที่หายไปกับเวลาการแพร่ผ่านของมอร์ต้าร์

๔. การประเมินและคาดคะเนอัตราการกัดกร่อนของมอร์ต้าร์

จากการของเดือนแนวโน้มในรูป 5.7(ก) เป็นสมการสำหรับคาดคะเนอัตราการกัดกร่อนของมอร์ต้าร์ที่เสื่อมสภาพแบบธรรมชาติภายในระยะเวลาการทดสอบ 24 สัปดาห์ เท่านั้น ซึ่งแสดงให้เห็นว่ามอร์ต้าร์มี Weight loss ลดลง (น้ำหนักเพิ่มขึ้น) โดยจากการของเส้นแนวโน้มในสัปดาห์ที่ 24 สามารถประเมินได้ว่าจะเกิดอัตราการกัดกร่อนของมอร์ต้าร์เท่ากับ -4.518 เบอร์เซ็นต์ การเทียบเวลาเร่งการทดสอบกับเวลาตามจริง เพื่อใช้ในการพยากรณ์อัตราการกัดกร่อนของมอร์ต้าร์ จะทำการเทียบระหว่างกราฟเวลาการแพร่ผ่าน (รูป 5.8) ซึ่งเป็นเวลาตามจริง ที่มีเส้นแนวโน้มของ Weight loss ลดลง (มีน้ำหนักเพิ่มขึ้น) กับกราฟการเร่งปฏิกิริยา (รูป 5.7(ข))

ในช่วงที่มีค่า Weight loss ลดลงได้สูงที่สุด จากกราฟการเร่งปฏิกิริยาดังรูป 5.7(ข) สามารถประมาณได้ว่ามอร์ตาร์จะมีเปอร์เซ็นต์ Weight loss ลดลงได้สูงสุดเท่ากับ -7.106 เปอร์เซ็นต์ ในระยะเวลาเร่งปฏิกิริยา 12.96 สัปดาห์ เมื่อนำมาเปรียบเทียบกับเวลาการแพร่ผ่านในรูปที่ 5.8 จะได้ว่า ที่เปอร์เซ็นต์ Weight loss เท่ากับ -7.106 เปอร์เซ็นต์ จะเท่ากับระยะเวลาตามจริง 40.51 สัปดาห์ ดังนั้น ระยะเวลาเร่งปฏิกิริยา 12.96 สัปดาห์ เท่ากับระยะเวลาตามจริง 40.51 สัปดาห์ ถ้า ระยะเวลาเร่งปฏิกิริยา 1 สัปดาห์ จะเท่ากับระยะเวลาตามจริง 3.12 สัปดาห์ จะได้เวลาเร่งปฏิกิริยา (Acceleration Time, Ta) เพียงกับเวลาตามจริง (Natural Time, Tn) ดังนี้

$$Tn = 3.12 Ta \quad (5.3)$$

จากเส้นแนวโน้มในรูป 5.7(ข) พิจารณาระยะเวลาที่สามารถคาดคะเนการกัดกร่อนได้นานที่สุด คือ 24 สัปดาห์ ซึ่งสามารถคาดคะเนได้ว่ามอร์ตาร์จะมีค่า Weight loss เท่ากับ -1.98 เปอร์เซ็นต์ (ยังไม่น้ำหนักเพิ่มขึ้น เนื่องจากค่า Weight loss ติดลบ) นั่นหมายความว่า ในระยะเวลาตามจริง 74.88 สัปดาห์ หรือประมาณ 1.6 ปี นอร์ต้าร์บนในรัฐสถานจะเกิดการกัดกร่อนเท่ากับ -1.98 เปอร์เซ็นต์ และจากเส้นแนวโน้มในรูป 5.7(ข) สามารถคาดคะเนได้ว่าจะเริ่มนิ่มค่า Weight loss เป็นนาวกที่ระยะเวลาเร่งปฏิกิริยา 25.96 สัปดาห์ หรือเท่ากับระยะเวลาตามจริง 81 สัปดาห์ (ประมาณ 1.7 ปี)

จากสมการ 5.1 และ 5.3 จะเห็นว่าการเทียบเวลาตามจริงของอิฐและมอร์ต้าร์มีค่าต่างกันมาก ซึ่งสามารถอธิบายได้ว่า นอร์ต้าร์ปูนหมักเป็นวัสดุที่มีกำลังรับแรงอัดน้อยกว่าอิฐตั้งแต่เริ่มแรกอยู่แล้ว ดังนั้น เมื่อผ่านการใช้งานหรือผ่านช่วงเวลาของการเสื่อมสภาพ จึงทำให้มอร์ต้าร์มีกำลังรับแรงอัดคล่องเนื่องจากการเกิดเกลือแล้วแตกกระเทาะและพังก่อนอิฐ ด้วยเหตุนี้ การเทียบเวลาตามจริงของมอร์ต้าร์จึงมีค่าน้อยกว่าอิฐ และจะมีอายุการใช้งานน้อยกว่าอิฐ ทั้งนี้ผลการคาดคะเนอัตราการกัดกร่อนของมอร์ต้าร์ในงานวิจัยนี้ เกิดขึ้นจากการสัมผัสถกับการคำนวณด้านความเพียงปัจจัยเดียวเท่านั้น

5.2.2 ผลการเสื่อมสภาพค่ากำลังอัดของมอร์ต้าร์

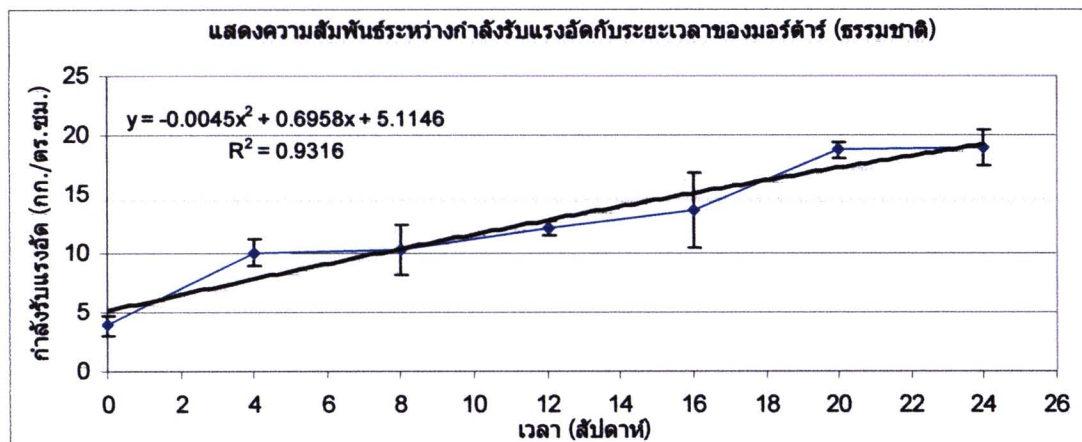
ก. วิเคราะห์ผลการทดสอบค่ากำลังอัดของมอร์ต้าร์

จากผลการทดสอบค่ากำลังรับแรงอัดของมอร์ต้าร์ขนาด $5 \times 5 \times 5$ เซนติเมตร ภายใต้สภาพทั้ง 3 รูปแบบ คือ (1) การเสื่อมสภาพตามกระบวนการของธรรมชาติ (2) การเสื่อมสภาพแบบเร่งปฏิกิริยา และ (3) การเสื่อมสภาพตามกระบวนการของธรรมชาติสลับกับแบบเร่งปฏิกิริยา นำรูปแบบที่ (1) กับ (2) มาหาความสัมพันธ์ โดยพิจารณาจากค่าสัมประสิทธิ์การตัดสินใจ (R^2) ดังตาราง 5.5 พนว่าผลการทดสอบค่ากำลังรับแรงอัดของมอร์ต้าร์ที่เสื่อมสภาพตามกระบวนการของธรรมชาติมีความสัมพันธ์เป็นแบบ Quadratic (SD อยู่ในช่วง ± 0.670 ถึง ± 3.205 ksc.) และผลการ

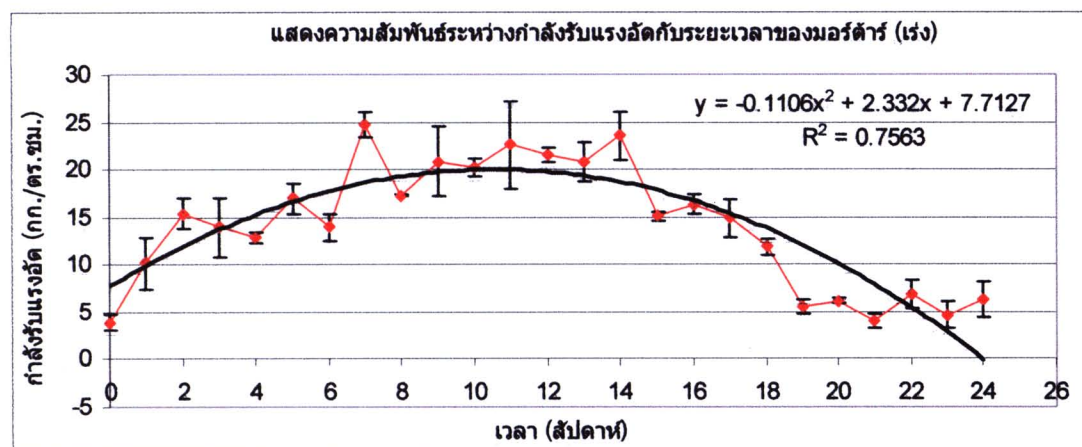
ทดสอบกำลังรับแรงอัคของมอร์ต้าร์ที่เสื่อมสภาพแบบเร่งปฏิกิริยามีความสัมพันธ์แบบ Quadratic (SD อยู่ในช่วง ± 0.105 ถึง $\pm 4.615 \text{ ksc.}$) ดังรูป 5.9(ก) และ 5.9(ข) ตามลำดับ

ตาราง 5.5 เปรียบเทียบค่าสัมประสิทธิ์การตัดสินใจของตัวแบบในการวิเคราะห์ผลการทดสอบ
กำลังรับแรงอัคของมอร์ต้าร์

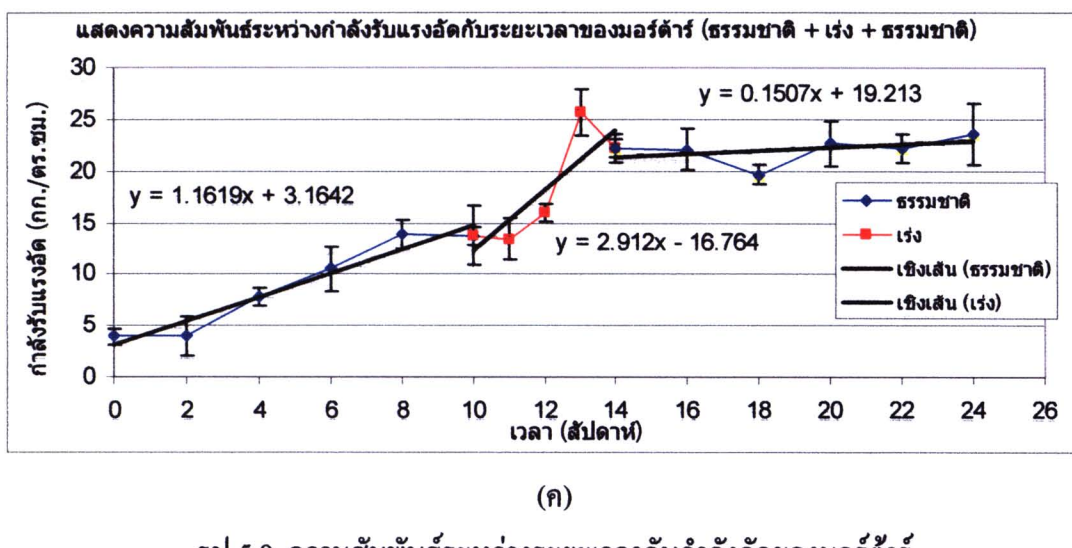
ตัวแปรตาม	ตัวแปรอิสระ	ตัวแบบ	R square	
			(1)ธรรมชาติ	(2)เร่งปฏิกิริยา
กำลังรับแรงอัคของมอร์ต้าร์	เวลา	Linear	0.929	0.129
		Logarithmic	-	-
		Quadratic	0.932	0.756
		Exponential	0.817	0.151



(ก)



(ข)



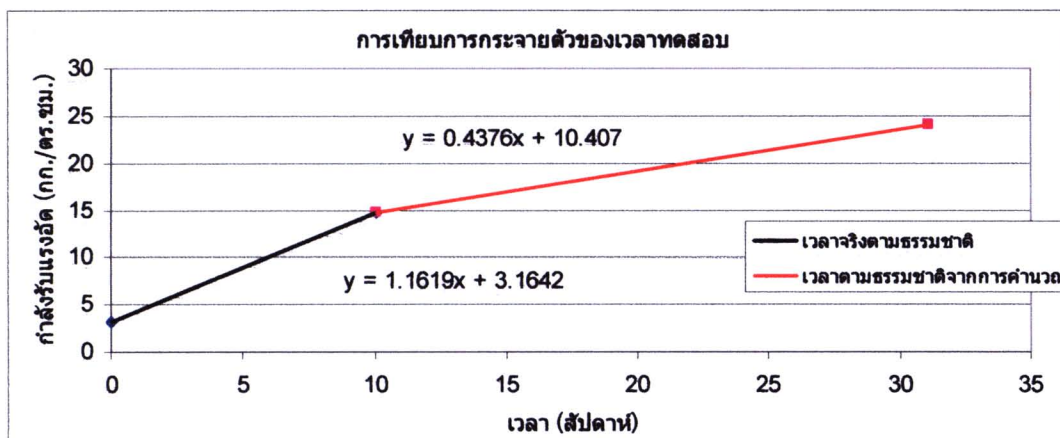
รูป 5.9 ความสัมพันธ์ระหว่างระยะเวลา กับกำลังอัดของมอร์ต้าร์

จากผลการศึกษากำลังอัดของมอร์ต้าร์ที่เสื่อมสภาพตามกระบวนการของธรรมชาติตั้งรูป 5.9(ก) พบว่า ในช่วงเวลาการทดสอบ 24 สัปดาห์ มอร์ต้าร์มีแนวโน้มของกำลังอัดเพิ่มขึ้น เช่นเดียวกับการทดสอบแบบเร่งปฏิกิริยา คือ มอร์ต้าร์มีแนวโน้มของกำลังอัดเพิ่มขึ้น ซึ่งสอดคล้อง กับผลการทดสอบอัตราการกัดกร่อนของมอร์ต้าร์ที่มีน้ำหนักเพิ่มขึ้น โดยการเร่งปฏิกิริยา จะทำให้ เกิดเกลือในช่องว่างรูพรุนของมอร์ต้าร์ เช่นเดียวกับอิฐ ทำให้มอร์ต้าร์มีพื้นที่รับแรงอัดเพิ่มขึ้นและมี กำลังรับแรงอัดเพิ่มขึ้นตามไปด้วย และหลังจากที่เกลือมีแรงดันทำให้เนื้อมอร์ต้าร์แตกกระเทาะ ก็ จะทำให้มอร์ต้าร์เริ่มนีกำลังอัดลดลงดังรูป 5.9(ข) เมื่อพิจารณาเส้นแนวโน้มของการเสื่อมสภาพ ตามแบบธรรมชาติของมอร์ต้าร์ซึ่งมีความสัมพันธ์แบบ Quadratic มีแนวโน้มคล้ายกับการทดสอบ แบบเร่งปฏิกิริยาในช่วงต้น นั่นหมายความว่าการเสื่อมสภาพตามแบบธรรมชาติของมอร์ต้าร์เป็น ผลเพียงส่วนหนึ่งของการทดสอบแบบเร่งปฏิกิริยาที่มีความสัมพันธ์แบบ Quadratic

ส่วนการทดสอบกำลังอัดของมอร์ต้าร์ที่เสื่อมสภาพตามกระบวนการของธรรมชาติสลับ กับแบบเร่งปฏิกิริยา ดังรูป 5.9(ก) มีความสอดคล้องกับการทดสอบอัตราการกัดกร่อนของมอร์ต้าร์ คือ ถ้ามอร์ต้าร์มีน้ำหนักเพิ่มขึ้น จะส่งผลทำให้กำลังอัดของมอร์ต้าร์เพิ่มขึ้นด้วยเช่นกัน เมื่อนำ เส้นแนวโน้มทั้งสามช่วงมาทำการเทียบการกระจายตัวของเวลาทดสอบ โดยมีค่าความชันของ กราฟช่วงที่ 1 (Vd_1) = 1.1619, ความชันของกราฟช่วงที่ 3 (Vd_3) = 0.1507 และ ปริมาณการกัด กร่อนแบบเร่งปฏิกิริยาของกราฟช่วงที่ 2 ($X_{t-t'}$) = 11.648 นำไปแทนในสมการที่ 2.16 จะได้ค่า เวลาการแพร่ผ่าน (Diffusion Conversion Time, $Td_{t-t'}$) = 21.1 สัปดาห์ (คุณค่ารวมภาคผนวก 4.4) จากนั้นนำค่าเวลาการแพร่ผ่านที่คำนวณได้ไปรวมกับเวลาจากการทดสอบของเส้นแนวโน้ม



ช่วงที่ 1 = 10 สัปดาห์ จะได้ระยะเวลาตามจริงที่สามารถพยากรณ์การเสื่อมสภาพของมอร์ต้าร์ทั้งหมด 31.1 สัปดาห์ หรือประมาณ 0.7 ปี ดังรูป 5.10



รูป 5.10 ความสัมพันธ์ระหว่างกำลังรับแรงอัดกับเวลาการแพร่ผ่านของมอร์ต้าร์

บ. ประเมินและคาดคะเนกำลังรับแรงอัดของมอร์ต้าร์

จากสมการของเส้นแนวโน้มในรูป 5.9(ก) เป็นสมการสำหรับคาดคะเนกำลังรับแรงอัดของมอร์ต้าร์ที่เสื่อมสภาพตามกระบวนการของธรรมชาติภายในระยะเวลาการทดสอบ 24 สัปดาห์ เท่านั้น ซึ่งแสดงให้เห็นว่ามอร์ต้าร์มีแนวโน้มของกำลังอัดที่เพิ่มขึ้น โดยจากสมการเส้นแนวโน้มในรูป 5.9(ก) สามารถประเมินได้ว่ากำลังอัดของมอร์ต้าร์จะมีค่าเท่ากับ 19.22 กก./ตร.ซม.

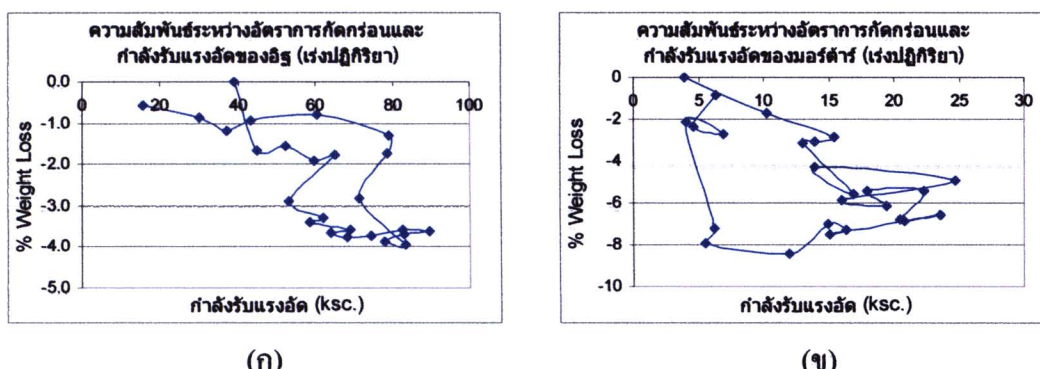
การเทียบเวลาเร่งการทดสอบกับเวลาตามจริง เพื่อใช้ในการพยากรณ์กำลังรับแรงอัดของมอร์ต้าร์ จะทำการเทียบระหว่างกราฟเวลาการแพร่ผ่าน (รูป 5.10) ซึ่งเป็นเวลาตามจริง ที่มีลักษณะเส้นแนวโน้มของกำลังอัดเพิ่มขึ้น กับกราฟการเร่งปฏิกิริยา (รูป 5.9(ข)) ในช่วงที่มีค่ากำลังอัดเพิ่มขึ้นได้สูงที่สุด จากกราฟการเร่งปฏิกิริยาดังรูป 5.9(ข) สามารถประเมินได้ว่ามอร์ต้าร์จะมีกำลังรับแรงอัดเพิ่มขึ้นได้สูงสุดเท่ากับ 20.01 กก./ตร.ซม. ในระยะเวลาเร่งปฏิกิริยา 10.54 สัปดาห์ เมื่อนำมาเปรียบเทียบกับสมการเวลาการแพร่ผ่านในรูป 5.10 พบร่วยว่าที่กำลังรับแรงอัดเท่ากับ 20.01 กก./ตร.ซม. จะเท่ากับระยะเวลาตามจริง 21.94 สัปดาห์

ดังนั้น ระยะเวลาเร่งปฏิกิริยา 10.54 สัปดาห์ เท่ากับระยะเวลาตามจริง 21.94 สัปดาห์
ถ้า ระยะเวลาเร่งปฏิกิริยา 1 สัปดาห์ จะเท่ากับระยะเวลาตามจริง 2.08 สัปดาห์
จะได้เวลาเร่งปฏิกิริยา (Acceleration Time, Ta) เทียบกับเวลาตามจริง (Natural Time, Tn) ดังนี้

$$T_n = 2.08 Ta \quad (5.4)$$

และสามารถใช้สมการในการคาดคะเน 50 สัปดาห์ หรือ 1.04 ปี ทั้งนี้ผลการคาดคะเนอัตราการกัดกร่อนของมอร์ต้าร์ในงานวิจัยนี้ เกิดขึ้นจากการสัมผัสกับกรดกำมะถันความเพียงปัจจัยเดียวเท่านั้น

เมื่อนำผลการทดสอบของอิฐและน้ำมาร์ต้าร์มาหาความสัมพันธ์ระหว่างอัตราการกัดกร่อน และกำลังอัด พนว่า เส้นแนวโน้มความสัมพันธ์ของอิฐ (รูป 5.11(ก)) และน้ำมาร์ต้าร์ (รูป 5.11(ข)) มีลักษณะที่คล้ายกัน คือ ในช่วงแรกวัสดุจะมีกำลังอัดเพิ่มขึ้น และมีค่า %Weight Loss จะลดลง (น้ำหนักเพิ่มขึ้น) นั่นเป็น เพราะว่า การเกิดเกลือในเนื้อวัสดุ จะทำให้วัสดุมีน้ำหนักเพิ่มขึ้นและมีกำลังอัดเพิ่มขึ้น และเมื่อวัสดุเริ่มแตกหักเทา (สังเกตได้จากค่า %Weight Loss ที่ติดลบน้อยลง) จึงทำให้วัสดุมีกำลังอัดลดลงในช่วงปลาย ดังนั้นจึงสามารถสรุปได้ว่า การเกิดเกลือในช่องว่างรูพรุน ของวัสดุ จะส่งผลโดยตรงต่ออัตราการกัดกร่อนและกำลังอัดของวัสดุดังรูป 5.11



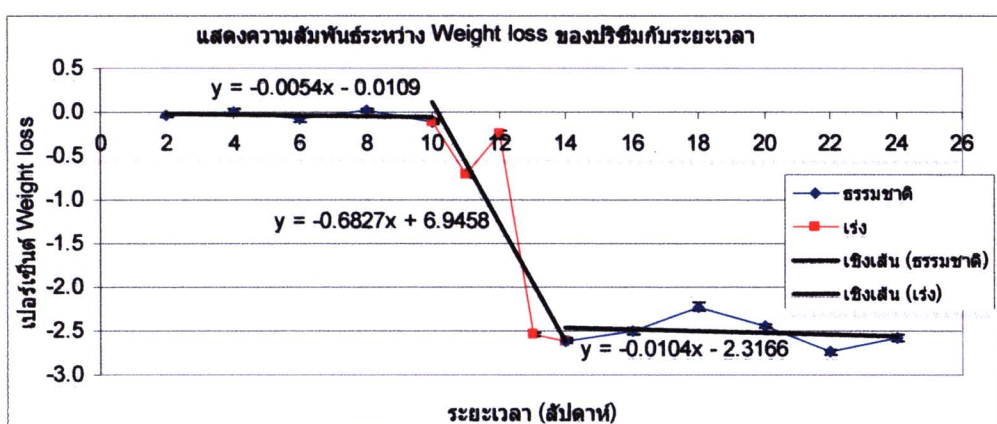
รูป 5.11 ความสัมพันธ์ระหว่างอัตราการกัดกร่อนกับกำลังรับแรงอัดของอิฐและน้ำมาร์ต้าร์

5.3 ผลการเสื่อมสภาพของปริซึมอิฐก่อ

5.3.1 ผลการเสื่อมสภาพต่ออัตราการกัดกร่อนของปริซึมอิฐก่อ

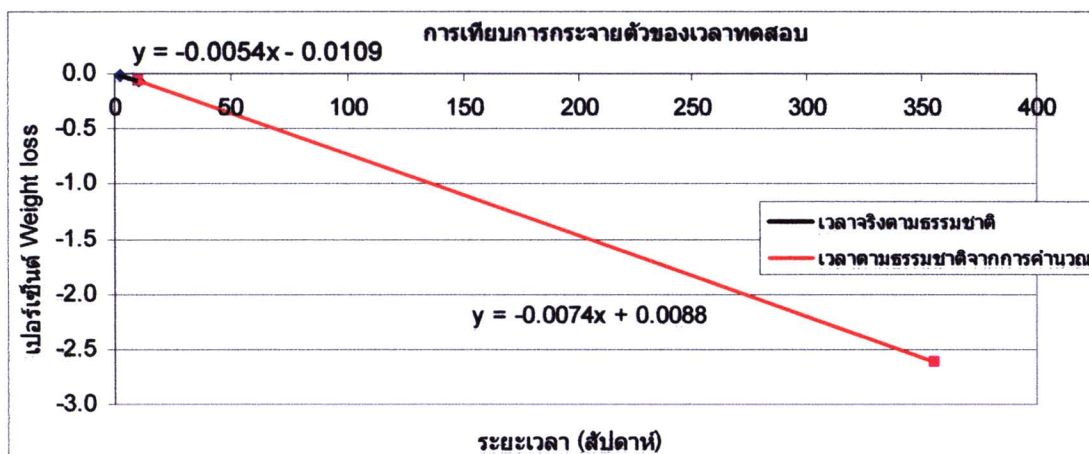
ก. วิเคราะห์ผลการทดสอบอัตราการกัดกร่อนของปริซึมอิฐก่อ

จากผลการทดสอบอัตราการกัดกร่อนแบบธรรมชาติสัมบูรณ์ ของปริซึม อิฐก่อ นำมาหา ความสัมพันธ์ระหว่างระยะเวลา กับปริซึม กับระยะเวลา ที่นำไปทดสอบ ทั้ง 3 ช่วง ดังรูป 5.12



รูป 5.12 ความสัมพันธ์ระหว่างระยะเวลา กับปริซึม กับระยะเวลา ที่นำไปทดสอบ ทั้ง 3 ช่วง ดังรูป 5.12

จากผลการศึกษาอัตราการกัดกร่อนของปริซีนดังรูป 5.12 จะมีส่วนแనวโน้มอยู่ 3 ช่วง (SD เฉลี่ย $\pm 0.272\%$) ส่วนแnanโน้มช่วงที่ 1 และ 3 เป็นการทดสอบแบบธรรมชาติ พบว่า มีแnanโน้มของ Weight loss ลดลง (น้ำหนักเพิ่มขึ้น) แต่ลดลงในอัตราที่น้อยกว่า เมื่อเทียบกับส่วนแnanโน้มช่วงที่ 2 ซึ่งเป็นการทดสอบแบบเร่งปฏิกิริยา และเมื่อนำไปเปรียบเทียบกับผลการกัดกร่อนของอิฐและมอร์ตาร์ จะเห็นได้ว่ามีความสอดคล้องกัน คือ ห้องอิฐและมอร์ตาร์มีแnanโน้มของ Weight loss ลดลงเช่นกัน เมื่อนำส่วนแnanโน้มทั้งสามช่วงมาทำการเทียบการกระจายตัวของเวลาทดสอบ โดยมีค่าความชันของกราฟช่วงที่ 1 (Vd_1) = -0.0054, ความชันของกราฟช่วงที่ 3 (Vd_3) = -0.0104 และปริมาณการกัดกร่อนแบบเร่งปฏิกิริยาของกราฟช่วงที่ 2 (X_{1-3}) = 2.738 นำไปแทนในสมการที่ 2.16 จะได้ค่าเวลาการแพร่ผ่าน (Diffusion Conversion Time, Td_{1-3}) = 345.8 วินาที (คุณค่าความถี่ 4.5) จากนั้นนำค่าเวลาการแพร่ผ่านที่คำนวณได้ไปรวมกับเวลาจากการทดสอบของส่วนแnanโน้มช่วงที่ 1 = 10 วินาที จะได้ระยะเวลาตามจริงที่สามารถพยากรณ์อัตราการกัดกร่อนของปริซีนอิฐก่อห้องหมุด 355.8 วินาที หรือประมาณ 7.4 ปี ดังรูป 5.13



รูป 5.13 ความสัมพันธ์ระหว่างเบอร์เซ็นต์น้ำหนักที่หายไปกับเวลาการแพร่ผ่านของปริซีนอิฐก่อห้อง

บ. การประเมินและคาดคะเนอัตราการกัดกร่อนของปริซีนอิฐก่อ

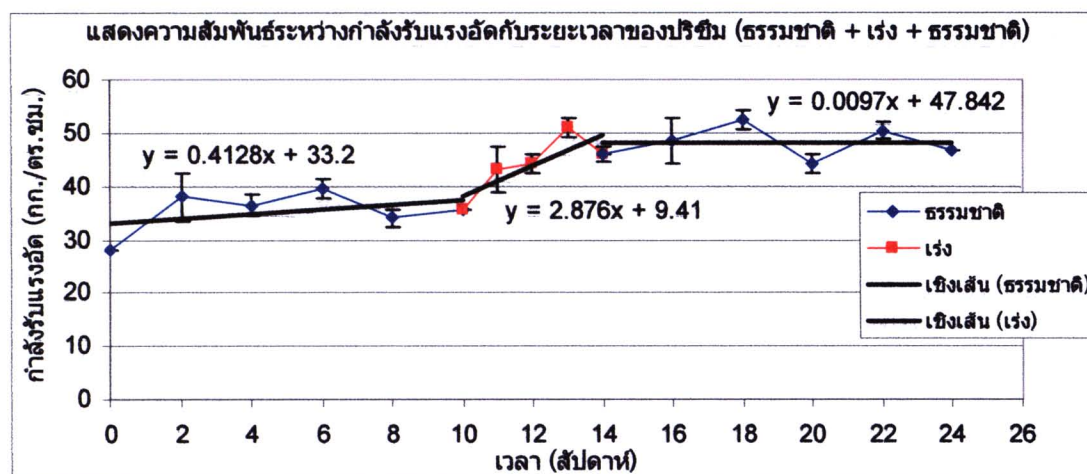
จากสมการของส่วนแnanโน้มในรูป 5.13 เป็นสมการเวลาการแพร่ผ่านของอัตราการกัดกร่อนของปริซีนอิฐก่อ โดยจากการวิเคราะห์ผลการกัดกร่อนข้างต้น ให้พิจารณาระยะเวลาที่สุกที่สามารถคาดคะเนการกัดกร่อนได้คือ ที่ระยะเวลา 355.8 วินาที หรือประมาณ 7.4 ปี ปริซีนอิฐก่อจะมีค่า Weight loss เท่ากับ -2.624 เบอร์เซ็นต์ (ยังมีน้ำหนักเพิ่มขึ้น เนื่องจากค่า Weight loss ติดลบ) เมื่อนำมาเปรียบเทียบกับค่าการกัดกร่อนของอิฐและมอร์ตาร์ที่ระยะเวลาเดียวกัน คือ ที่ระยะเวลาจริง 355.8 วินาที (ประมาณ 7.4 ปี) จะมีค่าการกัดกร่อนของอิฐเท่ากับ -3.237 เบอร์เซ็นต์

(จากสมการเส้นแนวโน้มรูป 5.3(ข)) และของมอร์ต้าร์เกิดการกัดกร่อนจนหมด (423 เปอร์เซ็นต์, จากสมการเส้นแนวโน้มรูป 5.7(ข)) ดังนั้นจึงสามารถอธิบายได้ว่า ค่าอัตราการกัดกร่อนของปริซีน อิฐก่ออยู่ระหว่างกลางของค่าอัตราการกัดกร่อนของอิฐกับมอร์ต้าร์

5.3.2 ผลการเสื่อมสภาพต่อกำลังอัคของปริซีนอิฐก่อ

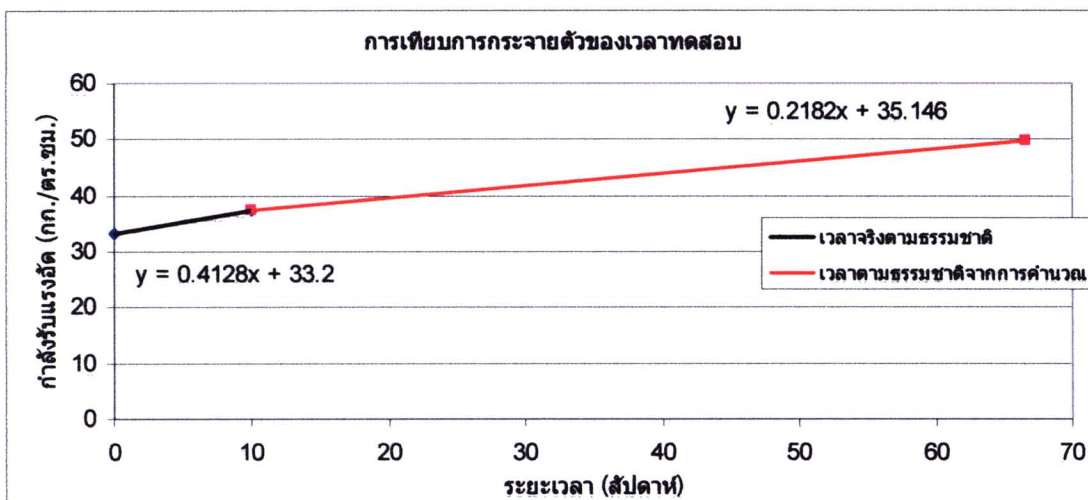
ก. วิเคราะห์ผลการทดสอบกำลังอัคของปริซีนอิฐก่อ

จากผลการทดสอบกำลังรับแรงอัคของปริซีนอิฐก่อที่เสื่อมสภาพตามกระบวนการของธรรมชาติสลับกับแบบเร่งปฏิกิริยา นำมาหาความสัมพันธ์ระหว่างระยะเวลา กับกำลังอัคของการทดสอบทั้งสามช่วงดังรูป 5.14



รูป 5.14 ความสัมพันธ์ระหว่างระยะเวลา กับกำลังอัคของปริซีนอิฐก่อ

จากผลการศึกษา กำลังอัคของปริซีนดังรูป 5.14 พบร่วมกับเส้นแนวโน้มกำลังอัคของปริซีนทั้ง 3 ช่วง มีค่าเพิ่มขึ้น (SD เนลลี่ $\pm 2.116 \text{ ksc.}$) โดยเส้นแนวโน้มช่วงที่ 2 มีความชันมากที่สุด ซึ่งเป็นผลจากการเร่งปฏิกิริยา ทำให้เร่งการเกิดเกลือในรูพนูน ได้เร็วขึ้น เมื่อนำเส้นแนวโน้มทั้งสามช่วง มาทำการเทียบการกระจายตัวของเวลาทดสอบ โดยมีค่าความชันของกราฟช่วงที่ 1 (Vd_1) = 0.4128, ความชันของกราฟช่วงที่ 3 (Vd_3) = 0.0097 และปริมาณการกัดกร่อนแบบเร่งปฏิกิริยาของกราฟช่วงที่ 2 (X_{t-t}) = 11.504 นำไปแทนในสมการที่ 2.16 จะได้ค่าเวลาการแพร่ผ่าน (Diffusion Conversion Time, Td_{t-t}) = 56.6 สัปดาห์ (คุณค่าความภายนอก 1.6) จากนั้นนำค่าเวลาการแพร่ผ่านที่คำนวณ ได้ไปรวมกับเวลาจากการทดสอบของเส้นแนวโน้มช่วงที่ 1 = 10 สัปดาห์ จะได้ระยะเวลาตามจริงที่สามารถพยากรณ์ กำลังรับแรงอัคของปริซีนอิฐก่อทั้งหมด 66.6 สัปดาห์ หรือประมาณ 1.4 ปี ดังรูป 5.15



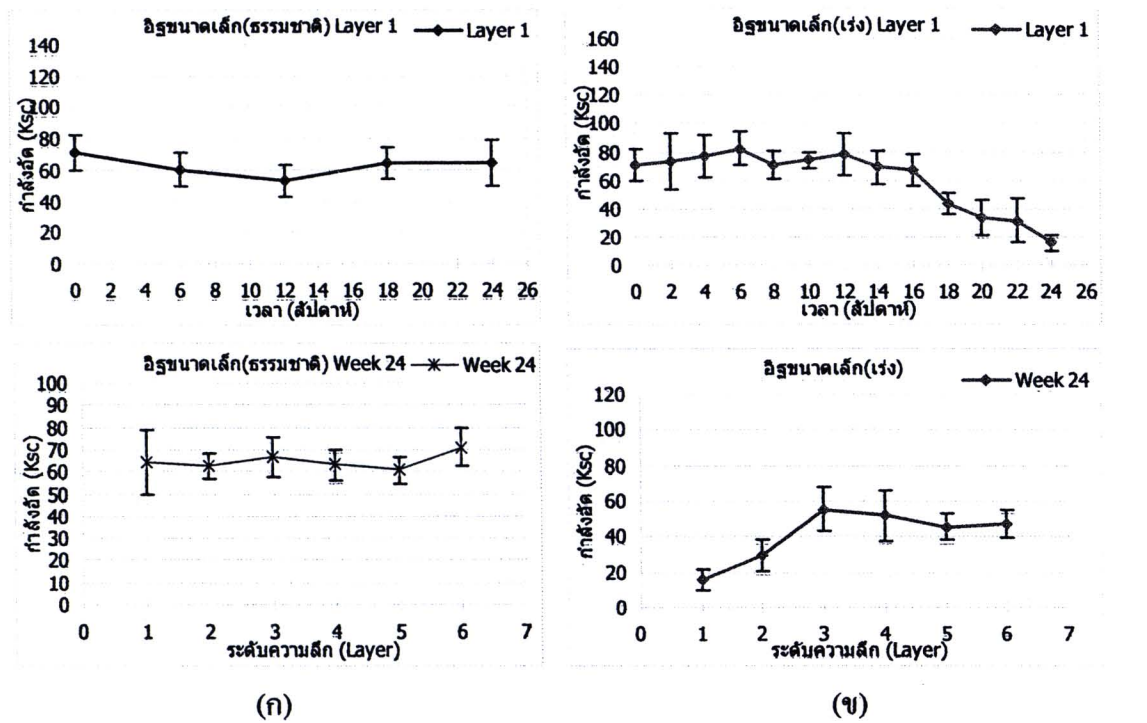
รูป 5.15 ความสัมพันธ์ระหว่างกำลังรับแรงอัดของปริซึมอิฐก่อ

๗. ประเมินและคาดคะเนกำลังรับแรงอัดของปริซึมอิฐก่อ

จากสมการของเส้นแนวโน้มในรูป 5.15 เป็นสมการเวลาการแพร่ผ่านสำหรับคาดคะเน กำลังรับแรงอัดของปริซึมอิฐก่อ โดยจากการวิเคราะห์ผลกำลังอัดข้างต้น ให้พิจารณาจะใช้เวลาที่สุดที่สามารถคาดคะเนกำลังรับแรงอัดได้คือ ที่ระยะเวลา 66.6 สัปดาห์ หรือประมาณ 1.4 ปี ปริซึมอิฐก่อจะมีค่ากำลังรับแรงอัดเท่ากับ 49.678 กก./ตร.ซม. เมื่อนำมาเปรียบเทียบกับค่า กำลังรับแรงอัดของอิฐและมอร์ต้าร์ที่ระยะเวลาเดียวกัน คือ ที่ระยะเวลาจริง 66.6 สัปดาห์ จะมีค่า การกัดกร่อนของอิฐเท่ากับ 56.057 กก./ตร.ซม. (จากสมการเส้นแนวโน้มรูป 5.3(ข)) และของมอร์ต้าร์ไม่สามารถรับแรงอัดได้ (-31.009 กก./ตร.ซม., จากสมการเส้นแนวโน้มรูป 5.9(ข)) ดังนั้นจึง สามารถอธิบายได้ว่า กำลังอัดของปริซึมอิฐก่อจะมีค่าสูงกว่ากำลังอัดของมอร์ต้าร์ แต่จะมีค่าต่ำกว่า กำลังอัดของอิฐ ที่เป็นเช่นนี้ เพราะว่าอิฐมีกำลังรับแรงอัดสูง เมื่อประสานด้วยมอร์ต้าร์ที่มีกำลังรับ แรงอัดต่ำ จึงทำให้ปริซึมอิฐก่อมีกำลังรับแรงอัดอยู่ระหว่างกลางของอิฐกับมอร์ต้าร์ ซึ่งสอดคล้อง กับทฤษฎีเกี่ยวกับปัจจัยที่มีผลต่อกำลังของปริซึมอิฐก่อ (รูป 2.8)

5.4 ผลการเสื่อมสภาพของอิฐขนาดเล็ก

จากผลการทดสอบกำลังรับแรงอัดของอิฐขนาดเล็กขนาด $5 \times 5 \times 5$ มิลลิเมตร โดยหากทำการเปรียบเทียบกำลังรับแรงอัดของอิฐระดับความลึกที่ 1 ซึ่งเป็นระดับความลึกที่สามารถ เสื่อมสภาพได้เร็วๆ ความลึกจะอยู่ใน สามารถแสดงเป็นความสัมพันธ์ได้ดังรูป 5.16



รูป 5.16 กำลังรับแรงอัดของอิฐขนาดเล็กที่ระยะเวลาและระดับความลึกจากผิวสัมผัส

(ก) อิฐขนาดเล็กที่เสื่อมสภาพตามกระบวนการของธรรมชาติ

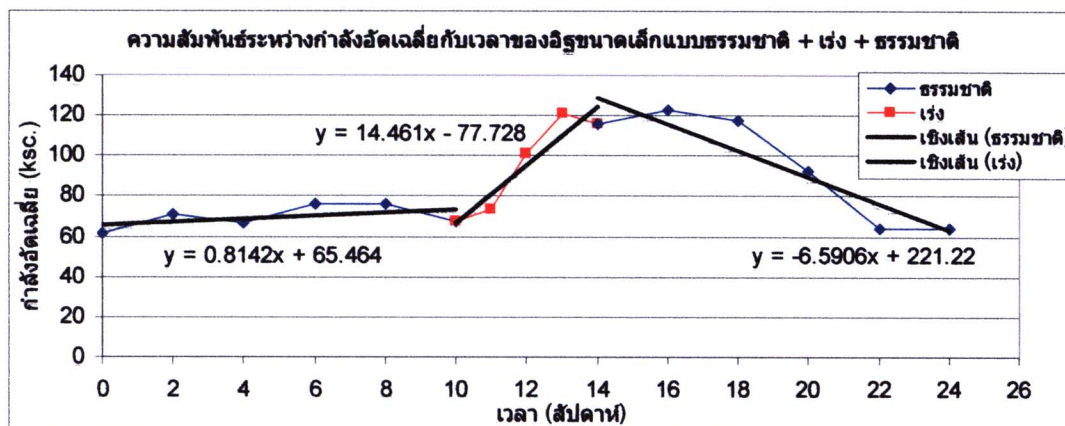
(ข) อิฐขนาดเล็กที่เสื่อมสภาพตามแบบเร่งปฏิกิริยา

จากการศึกษาがらังรับแรงอัดของอิฐขนาดเล็กที่เสื่อมสภาพตามกระบวนการของธรรมชาติ ในระดับความลึกที่ 1 ที่ระยะเวลาทดสอบ 24 สัปดาห์ ดังรูป 5.16(ก-บน) พบว่า หลังการทดสอบ การเสื่อมสภาพแบบธรรมชาติในเวลา 24 สัปดาห์ がらังอัดของอิฐในระดับความลึกที่ 1 ยังไม่มี แนวโน้มของがらังอัดลดลงอย่างชัดเจน (มีค่าคงที่เฉลี่ยเท่ากับ 62 กก./ตร.ซม.) และเมื่อ เปรียบเทียบกับความลึกระดับอื่นในสัปดาห์ที่ 24 ดังรูป 5.16(ก-ล่าง) จะเห็นได้ว่ามีがらังอัดที่ ใกล้เคียงกัน นั่นหมายความว่า การทดสอบการเสื่อมสภาพตามกระบวนการของธรรมชาติของอิฐ ที่ระยะเวลา 24 สัปดาห์ ยังไม่เกิดการกัดกร่อนที่ผิวสัมผัส

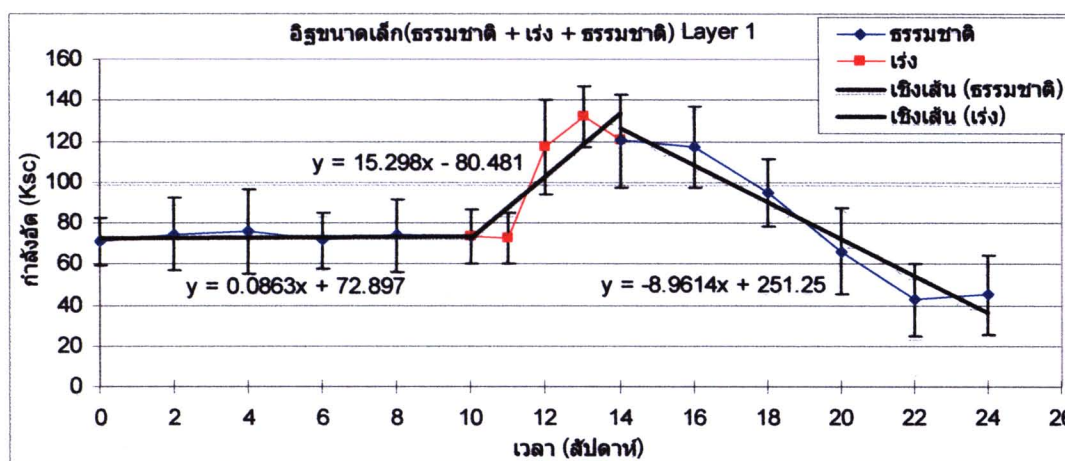
และผลがらังรับแรงอัดของอิฐขนาดเล็กที่เสื่อมสภาพแบบเร่งปฏิกิริยาในระดับความลึกที่ 1 ดังรูป 5.16(ข-บน) พบว่า ในช่วง 6 สัปดาห์แรก มีแนวโน้มของがらังอัดเพิ่มขึ้น แต่หลังจากสัปดาห์ที่ 6 มีแนวโน้มของがらังอัดลดลงอย่างชัดเจน ซึ่งสอดคล้องกับรูป 5.16(ข-ล่าง) คือในเวลาทดสอบ แบบเร่งปฏิกิริยา 24 สัปดาห์ がらังอัดของอิฐระดับความลึกที่ 1 จะเกิดการเสื่อมสภาพได้เร็วกว่า ความลึกระดับที่ 2 และ 3 ตามลำดับ

ดังนั้นจึงสามารถสรุปได้ว่า การเสื่อมสภาพของอิฐขึ้นอยู่กับระดับความลึกจากผิวหน้าและ ระยะเวลาการใช้งาน โดยที่がらังอัดที่ผิวนอกสุดจะมีค่าต่ำที่สุดเมื่อระยะเวลาผ่านไป

ส่วนผลกำลังรับแรงอัดของอิฐขนาดเล็กที่เสื่อมสภาพตามกระบวนการของธรรมชาติสลับกับแบบเร่งปฏิกิริยา นำมาพิร้อตกราฟความสัมพันธ์ระหว่างกำลังอัดเฉลี่ยทั้ง 6 ความลึกของอิฐกับเวลาการทดสอบได้ดังรูป 5.17 และพิจารณาที่ความลึกระดับที่ 1 ซึ่งเป็นระดับความลึกที่สามารถเสื่อมสภาพได้เร็วกว่าความลึกระดับอื่น สามารถแสดงเป็นความสัมพันธ์ได้ดังรูป 5.18



รูป 5.17 ความสัมพันธ์กำลังรับแรงอัดเฉลี่ยของอิฐขนาดเล็กที่เสื่อมสภาพตามกระบวนการของธรรมชาติสลับกับแบบเร่งปฏิกิริยา



รูป 5.18 ความสัมพันธ์กำลังรับแรงอัดของอิฐขนาดเล็กที่ระดับความลึกที่ 1 ที่เสื่อมสภาพตามกระบวนการของธรรมชาติสลับกับแบบเร่งปฏิกิริยา

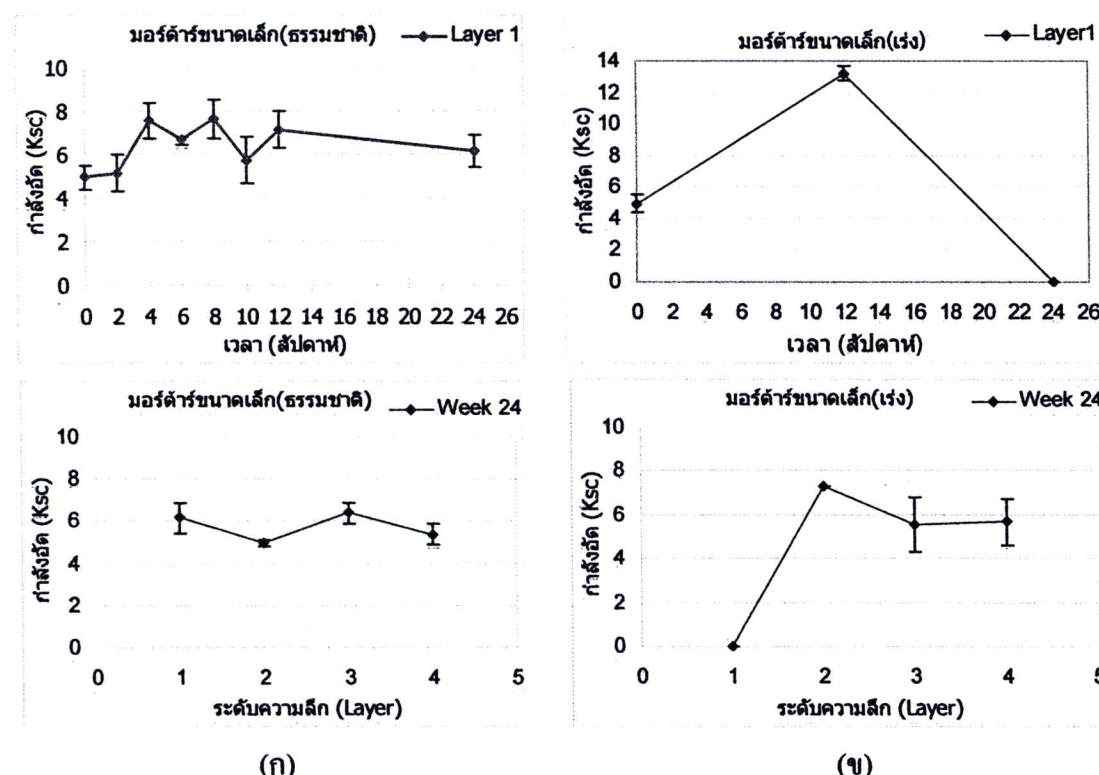
จากผลกำลังรับแรงอัดเฉลี่ยของอิฐขนาดเล็กที่เสื่อมสภาพตามกระบวนการของธรรมชาติสลับกับแบบเร่งปฏิกิริยาดังรูป 5.17 พบรูปแบบของเส้นแนวโน้มทั้งสามช่วง มีความสอดคล้องกับผลการทดสอบแบบเร่งปฏิกิริยาที่มีความสัมพันธ์แบบ Quadratic คือ เส้นแนวโน้มช่วงที่ 1 มีค่า

กำลังอัดเพิ่มขึ้นและจะเพิ่มขึ้นได้สูดสุดในเส้นแนวโน้มช่วงที่ 2 หลังจากนั้นจะเริ่มน้ำกำลังอัดลดลง ในช่วงที่ 3 โดยกำลังอัดระดับความลึกที่ 1 ซึ่งเป็นผิวสัมผัสจะมีค่าต่ำที่สุดดังรูป 5.18

ดังนั้นจึงสรุปได้ว่าการทดสอบกำลังอัดของอิฐที่ไม่เคลือบอิพ็อกซ์ ($3 \times 3 \times 6$ ซม.) เมมาะสำหรับการทดสอบระยะสั้น เพื่อศึกษาการเสื่อมสภาพของตัววัสดุอย่างเดียว โดยถ้าทำการทดสอบระยะยาว จะเกิดพื้นที่ทับซ้อน (Overlap) ของการเสื่อมสภาพ ซึ่งจะทำให้ได้ค่าที่ผิดเพี้ยน หากต้องการทราบค่ากำลังอัดที่เป็นผลจากการเสื่อมสภาพที่ใกล้เคียงกับสภาพจริงที่สุด จะต้องเคลือบด้วยอิพ็อกซ์เพื่อให้เกิดการเสื่อมสภาพด้านเดียว และทดสอบด้วยชนิดตัวอย่างขนาดเด็ก

5.5 ผลการเสื่อมสภาพของมอร์ตาร์ขนาดเล็ก

จากการทดสอบกำลังรับแรงอัดของมอร์ตาร์ขนาดเล็กขนาด $10 \times 10 \times 10$ มิลลิเมตร โดยหากทำการเปรียบเทียบกำลังรับแรงอัดของมอร์ตาร์ระดับความลึกที่ 1 ซึ่งเป็นระดับความลึกที่สามารถเสื่อมสภาพได้เร็วกว่าความลึกระดับอื่น สามารถแสดงเป็นความสัมพันธ์กำลังรับแรงอัดของมอร์ตาร์ขนาดเล็กได้ดังรูป 5.19



รูป 5.19 กำลังรับแรงอัดของมอร์ตาร์ขนาดเล็กที่ระยะเวลาและระดับความลึกจากผิวสัมผัส

(ก) มอร์ตาร์ขนาดเล็กที่เสื่อมสภาพตามกระบวนการของธรรมชาติ

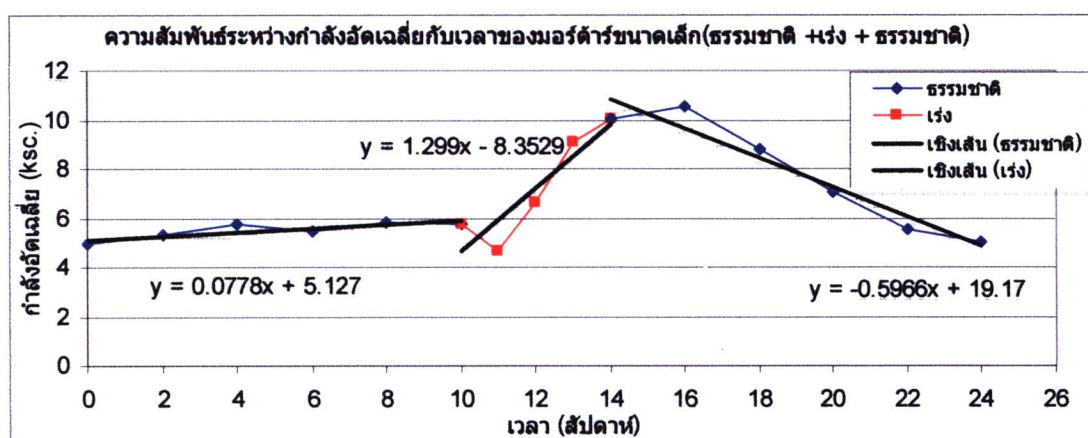
(ข) มอร์ตาร์ขนาดเล็กที่เสื่อมสภาพตามแบบเร่งปฏิกิริยา

จากการศึกษากำลังรับแรงอัดของมอร์ต้าร์ขนาดเล็กที่เสื่อมสภาพตามกระบวนการของธรรมชาติในระดับความลึกที่ 1 ที่ระยะเวลาทดสอบ 24 สัปดาห์ คังรูป 5.19(ก-บ) พนว่า หลังการทดสอบการเสื่อมสภาพแบบธรรมชาติในเวลา 24 สัปดาห์ กำลังอัดของมอร์ต้าร์ในระดับความลึกที่ 1 มีแนวโน้มของกำลังอัดเพิ่มขึ้น แต่เพิ่มขึ้นในอัตราส่วนที่น้อยกว่าเมื่อเทียบกับการทดสอบแบบเร่งปฏิกิริยา (รูป 5.19 ข-บ) และเมื่อเปรียบเทียบกับความลึกระดับอื่นในสัปดาห์ที่ 24 ดังรูป 5.19 (ก-ล่าง) จะเห็นได้ว่ามีกำลังอัดที่ใกล้เคียงกัน นั่นหมายความว่า การทดสอบการเสื่อมสภาพตามกระบวนการของธรรมชาติของมอร์ต้าร์ที่ระยะเวลา 24 สัปดาห์ ยังไม่เกิดการกัดกร่อนที่ผิวสัมผัส

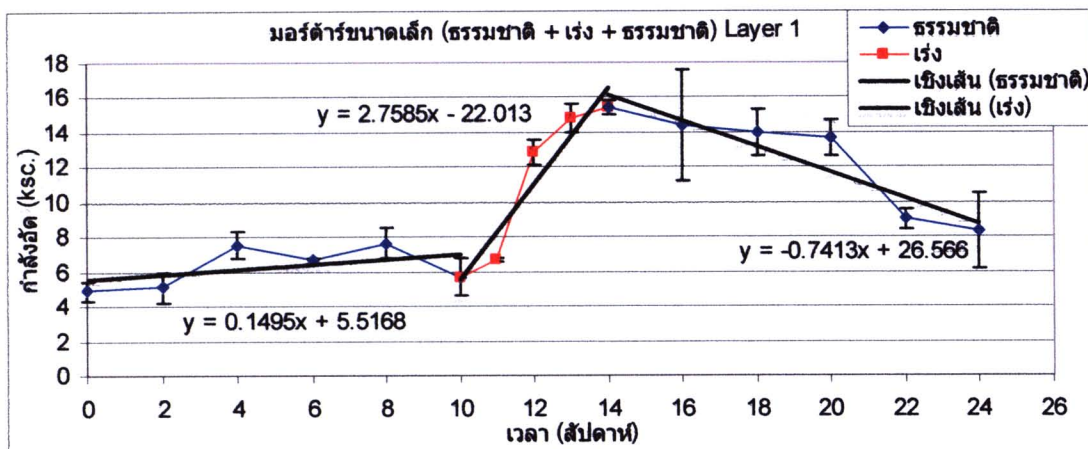
และผลกำลังอัดของมอร์ต้าร์ขนาดเล็กที่เสื่อมสภาพแบบเร่งปฏิกิริยาในระดับความลึกที่ 1 ดังรูป 5.19(ข-บ) พนว่า ในช่วง 12 สัปดาห์แรก มีแนวโน้มของกำลังอัดเพิ่มขึ้น แต่หลังจากสัปดาห์ที่ 12 มีค่ากำลังอัดเท่ากับศูนย์ ซึ่งสอดคล้องกับรูป 5.19(ข-ล่าง) คือในเวลาทดสอบแบบเร่งปฏิกิริยา 24 สัปดาห์ กำลังอัดของมอร์ต้าร์ระดับความลึกที่ 1 จะเสื่อมสภาพได้เร็วกว่าความลึกระดับที่ 2 และ 3 ตามลำดับ

ดังนั้นจึงสามารถสรุปได้ว่า การเสื่อมสภาพของมอร์ต้าร์ขึ้นอยู่กับระดับความลึกจากผิวน้ำและระยะเวลาการใช้งาน โดยที่กำลังอัดที่ผิวนอกสุดจะมีค่าต่ำที่สุดเมื่อระยะเวลาผ่านไป

ส่วนผลกำลังรับแรงอัดของมอร์ต้าร์ขนาดเล็กที่เสื่อมสภาพตามกระบวนการของธรรมชาติ สถาบันแบบเร่งปฏิกิริยา นำมาพิรอตกราฟความสัมพันธ์ระหว่างกำลังอัดเฉลี่ยทั้ง 4 ความลึกของมอร์ต้าร์กับเวลาการทดสอบ ได้ดังรูป 5.20 และพิจารณาที่ความลึกระดับที่ 1 ซึ่งเป็นระดับความลึกที่สามารถเสื่อมสภาพได้เร็วกว่าความลึกระดับอื่น สามารถแสดงเป็นความสัมพันธ์ได้ดังรูป 5.21



รูป 5.20 ความสัมพันธ์กำลังรับแรงอัดเฉลี่ยของมอร์ต้าร์ขนาดเล็กที่เสื่อมสภาพตามกระบวนการของธรรมชาติสถาบันแบบเร่งปฏิกิริยา



รูป 5.21 ความสัมพันธ์กำลังรับแรงอัดของมอร์ตาร์ขนาดเล็กระดับความลึกที่ 1 ที่เสื่อมสภาพตามกระบวนการของธรรมชาติสลับกับแบบเร่งปฏิกิริยา

จากผลกำลังรับแรงอัดของมอร์ตาร์ขนาดเล็กที่เสื่อมสภาพตามกระบวนการของธรรมชาติสลับกับแบบเร่งปฏิกิริยาดังรูป 5.20 พบรูปแบบของเส้นแนวโน้มทั้งสามช่วง มีความสอดคล้องกับผลการทดสอบแบบเร่งปฏิกิริยาที่มีความสัมพันธ์แบบ Quadratic เช่นเดียวกับผลของอิฐขนาดเล็ก คือ เส้นแนวโน้มช่วงที่ 1 มีค่ากำลังอัดเพิ่มขึ้นและจะเพิ่มขึ้นได้สุดสุดในเส้นแนวโน้มช่วงที่ 2 หลังจากนั้นจะเริ่มน้ำกำลังอัดลดลงในช่วงที่ 3 โดยระดับความลึกที่ 1 ซึ่งเป็นผิวสัมผัสข้างมีค่ากำลังอัดสูงกว่าค่ากำลังอัดเฉลี่ยดังรูป 5.21 เนื่องจากที่ผิวสัมผัสของมอร์ตาร์ยังเกิดการแตกหักของผลึกเกลืออยู่ ผลึกเกลือจึงช่วยส่งถ่ายแรงในรูปrun ทำให้กำลังอัดของมอร์ตาร์ระดับความลึกที่ 1 มีค่าสูงกว่าค่าเฉลี่ย หากทำการทดสอบนานกว่านี้ จะทำให้กำลังอัดที่ผิวสัมผัสต่ำกว่าตำแหน่งความลึกที่อยู่ดักเข้าไป เช่นเดียวกับผลการทดสอบแบบเร่งปฏิกิริยาดังรูป 5.19(ก-ล่าง)

5.6 วิเคราะห์ผลการกัดกร่อน

5.6.1 การตรวจสอบลักษณะภายนอก

การตรวจสอบลักษณะภายนอก เป็นการสังเกตการเปลี่ยนแปลงที่เกิดขึ้นด้วยตาเปล่า จากการทดสอบสามารถบันทึกการเปลี่ยนแปลงที่เกิดขึ้นได้ดังนี้

1. อิฐ

ลักษณะของอิฐก้อนการทดสอบนั้น มีผิวเรียบและไม่พบผลึกสีขาวดังรูป 3.1 หลังจากทำการทดสอบพบว่า การทดสอบการกัดกร่อนตามกระบวนการของธรรมชาติ เกิดผลึกสีขาวบนผิวของอิฐในค้านที่สัมผัสกับพื้นดิน ในสัปดาห์ที่ 20 ลักษณะของผลึก จะเกิดเป็นจุดสีขาวกระจายเป็นหย่อมๆ ทั่วผิวอิฐดังรูป 5.22 ส่วนการทดสอบการกัดกร่อนแบบเร่งปฏิกิริยา เริ่มเกิดผลึกสีขาวในสัปดาห์ที่ 2 โดยมีลักษณะการเกิดผลึก 2 รูปแบบ คือ (1) เกิดเฉพาะจุดใดจุดหนึ่ง (2) เกิดผลึกเต็กๆ แพร่กระจายต่อเนื่องกันดังรูป 5.23(ก) และ 5.23(ข) ตามลำดับ



รูป 5.22 ผลึกสีขาวบนผิวอิฐหลังจากการทดสอบการกัดกร่อนตามกระบวนการของธรรมชาติ



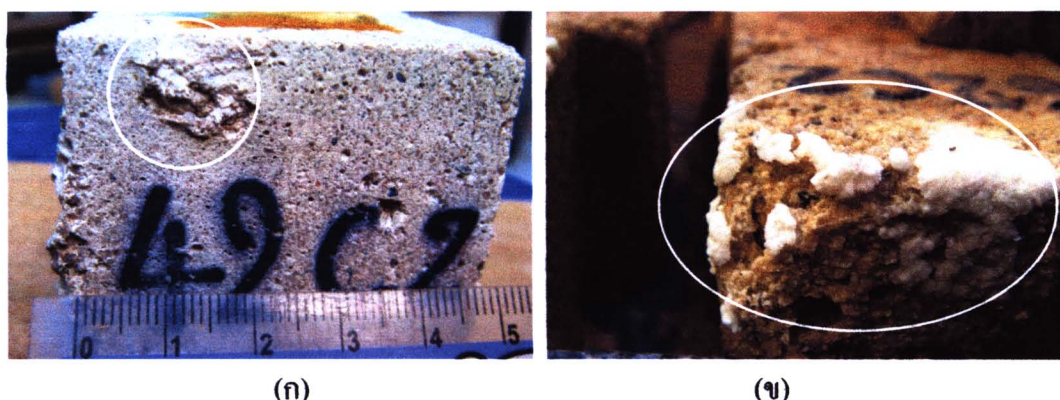
รูป 5.23 ผลึกสีขาวบนผิวอิฐหลังจากการทดสอบการกัดกร่อนแบบเร่งปฏิกิริยา

(ก) ผลึกสีขาวเกิดเฉพาะจุดใดจุดหนึ่ง

(ข) ผลึกสีขาวเกิดเป็นจุดเต็กๆ แพร่กระจายต่อเนื่องกัน

2. นอร์ต้าร์

ลักษณะของนอร์ต้าร์ก่อนการทดสอบ มีผิวเรียบ ไม่ร่วนและไม่พ่นผลึกสีขาวดังรูป 3.6 (ง) หลังจากทำการทดสอบแบบธรรมชาติ ไม่พ่นผลึกสีขาว แต่หลังการทดสอบการกัดกร่อนแบบเร่งปฏิกิริยา เริ่มพ่นผลึกสีขาวในสัปดาห์ที่ 10 และมีลักษณะการเกิดผลึก 2 รูปแบบ เช่นเดียวกับอิฐดังรูป 5.24 และในรูป 5.25 แสดงให้เห็นว่าการเสื่อมสภาพของนอร์ต้าร์ปูนหนักเกิดจากการแตกกระเทาะของเกลือ คือ การแตกกระเทาะของเกลือจะเกิดบริเวณเหลี่ยมมุมก่อนดังรูป 5.25(ก) เมื่องจากเป็นส่วนพื้นที่ทับซ้อน (Overlap) ของการเกิดเกลือของผิวค้านที่ชนกัน ส่วนลักษณะการถูกน้ำกรดกัดจะเกิดการเสื่อมสภาพที่ผิวสัมผัสเท่ากันทุกค้านดังรูป 5.25(ข)



รูป 5.24 ผลึกสีขาวบนผิวนอมอร์ต้าร์หลังจากทดสอบการกัดกร่อนแบบเร่งปฏิกิริยา

(ก) ผลึกสีขาวเกิดเฉพาะจุดโดยจุดหนึ่ง

(ข) ผลึกสีขาวเกิดเป็นจุดเด็กๆ พร้อมกระจายต่อเนื่องกัน



รูป 5.25 ลักษณะการถูกกัดกร่อนของนอมอร์ต้าร์หลังการแช่กรดกำมะถันความเข้มข้นร้อยละ 3

(ก) นอมอร์ต้าร์ปูนหนักทดสอบในสภาพเปียกกลับแห้งที่อายุ 24 สัปดาห์

(ข) นอมอร์ต้าร์ปูนซีเมนต์ทดสอบในสภาพสารละลายไม่ไหลเวียนที่อายุ 12 สัปดาห์ [7]

3. ปริชีนอิฐก่อ

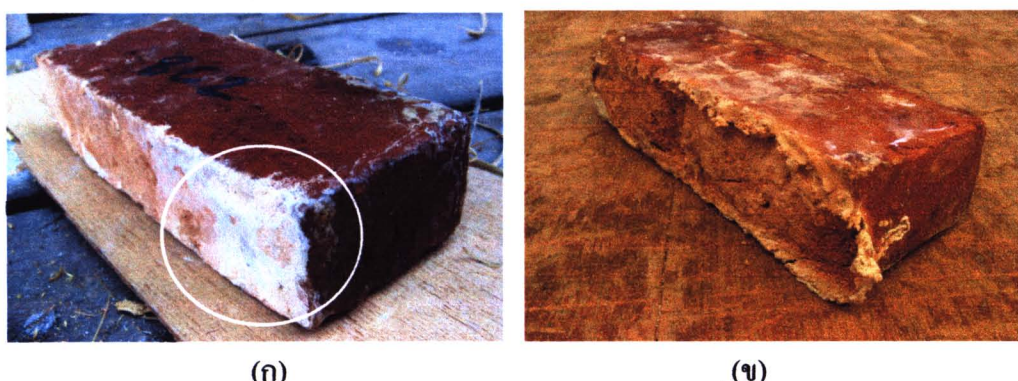
หลังจากทำการทดสอบการกัดกร่อนของปริชีนตามกระบวนการของธรรมชาติสลับกับแบบเร่งปฏิกิริยา พบพลีกสีขาวบนผิวอิฐของปริชีนอิฐก่อในสัปดาห์ที่ 14 และเริ่มนีการเสื่อมสภาพที่ผิวของอิฐในสัปดาห์ที่ 18 ดังรูป 5.26



รูป 5.26 ลักษณะพลีกสีขาวและการเสื่อมสภาพที่ผิวอิฐของปริชีโนิฐก่อ

4. อิฐเคลือบอีพ็อกซี่

อิฐที่เคลือบอีพ็อกซี่ใช้สำหรับทดสอบกำลังรับแรงอัดของอิฐขนาดเด็ก ซึ่งนอกจากศึกษา กำลังขัดของอิฐจากการเสื่อมสภาพแล้ว ยังให้สังเกตการณ์เปลี่ยนแปลงที่เกิดขึ้นด้วยตาเปล่าอีกด้วย หลังจากทำการทดสอบการกัดกร่อนตามกระบวนการของธรรมชาติ ไม่พบพลีกสีขาว แต่ในส่วนของการทดสอบการกัดกร่อนแบบเร่งปฏิกิริยา เริ่มปรากฏพลีกสีขาวในสัปดาห์ที่ 4 ลักษณะการเกิดพลีก จะเป็นพลีกเล็กๆ พรักระยะต่อเนื่องกัน ดังรูป 5.27(ก) และการเสื่อมสภาพจะเกิดขึ้นเฉพาะด้านที่ไม่ได้เคลือบอีพ็อกซี่เพียงด้านเดียวดังรูป 5.27(ข)



รูป 5.27 พลีกสีขาวบนผิวอิฐเคลือบอีพ็อกซี่หลังจากทดสอบการกัดกร่อนแบบเร่งปฏิกิริยา

(ก) พลีกสีขาวบนผิวอิฐเคลือบอีพ็อกซี่ ในสัปดาห์ที่ 4

(ข) ลักษณะการเสื่อมสภาพของอิฐเคลือบอีพ็อกซี่ ในสัปดาห์ที่ 24

5. นอร์ต้าร์เคลือบอีพ็อกซี่

นอร์ต้าร์ที่เคลือบอีพ็อกซี่ก็คล้ายกับอิฐที่เคลือบอีพ็อกซี่ คือ หลังจากทำการทดสอบการกัดกร่อนตามกระบวนการของธรรมชาติ ไม่พบผลึกสีขาว ในส่วนของการทดสอบการกัดกร่อนแบบเร่งปฏิกิริยา ก็ไม่พบผลึกสีขาวเช่นกัน แต่ที่สังเกตเห็นได้ชัดเจนคือ เกิดการเสื่อมสภาพของนอร์ต้าร์ในด้านที่ไม่ได้เคลือบอีพ็อกซี่เพียงด้านเดียวดังรูป 5.28



(ก)



(ข)

รูป 5.28 ลักษณะการเสื่อมสภาพของนอร์ต้าร์เคลือบอีพ็อกซี่ที่ทดสอบการกัดกร่อนแบบเร่งปฏิกิริยา

(ก) ลักษณะการเสื่อมสภาพของนอร์ต้าร์เคลือบอีพ็อกซี่ ในสัปดาห์ที่ 12

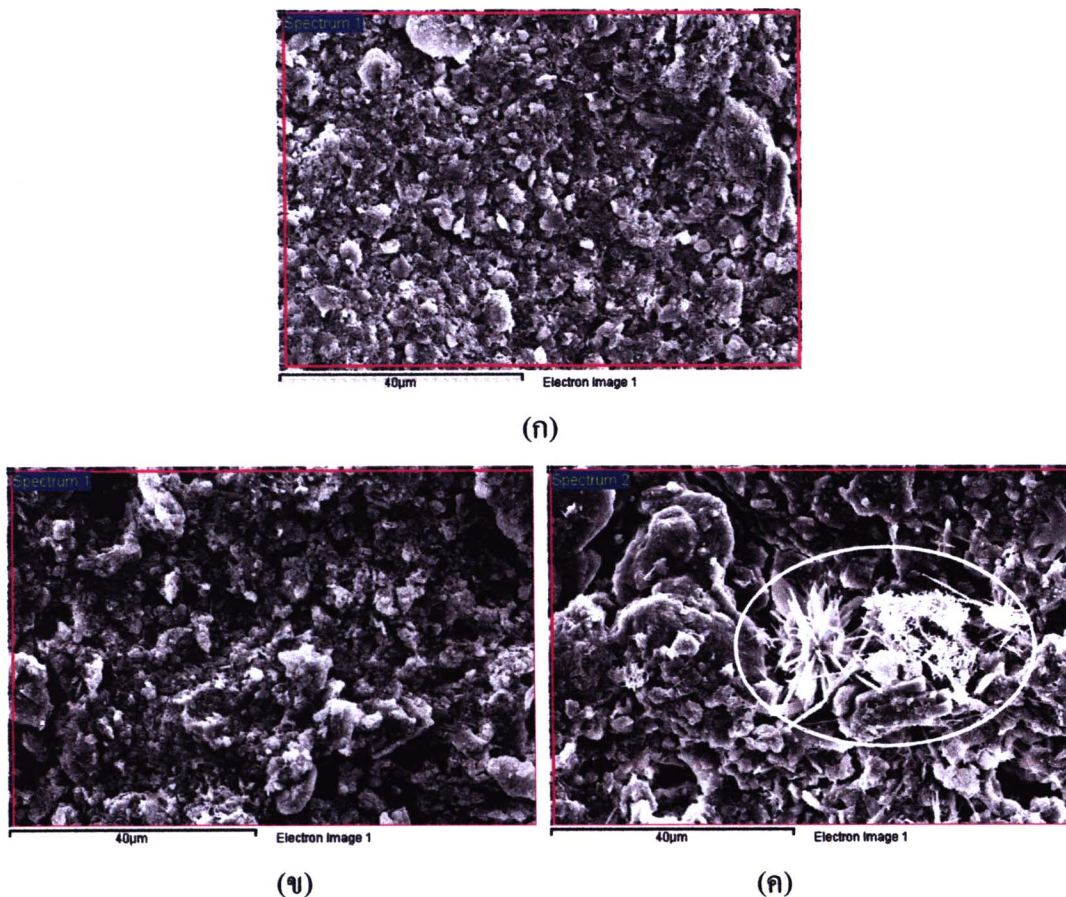
(ข) ลักษณะการเสื่อมสภาพของนอร์ต้าร์เคลือบอีพ็อกซี่ ในสัปดาห์ที่ 24

5.6.2 การตรวจสอบโครงสร้างและปริมาณธาตุภายใน

จากการเปลี่ยนแปลงที่เกิดขึ้นด้วยการสังเกตด้วยตาเปล่า ได้ทำการศึกษาโครงสร้างภายในของอิฐและนอร์ต้าร์ ด้วยกล้องอิเล็กตรอนแบบส่องกล้อง (Scanning Electron Microscope, SEM) เพื่อเปรียบเทียบโครงสร้างภายในของตัวอย่างทดสอบก่อนและหลังการทดสอบ ดังนี้

1. อิฐ

จากการตรวจสอบโครงสร้างภายในของอิฐที่ 3 ระดับความลึก ได้แก่ ความลึกระดับที่ 1 (0.25 ซม.), 3 (2.25 ซม.) และ 6 (5.25 ซม.) ดังรูป ข-1 ถึง ข-3 โดยหากทำการเปรียบเทียบโครงสร้างภายในของอิฐระดับความลึกที่ 1 ซึ่งเป็นระดับความลึกที่สามารถเสื่อมสภาพได้เร็วกว่าความลึกระดับอื่น สามารถอธิบายได้ว่า โครงสร้างของอิฐก่อนการทดสอบ มีลักษณะเป็นเนื้อเดียวกัน ผลึกมีขนาดเล็กดังรูป 5.29(ก) หลังจากทดสอบการกัดกร่อนตามกระบวนการของธรรมชาติในสัปดาห์ที่ 12 พบว่า ผลึกมีขนาดใหญ่ขึ้นและมีช่องว่างพูนเพิ่มมากขึ้นดังรูป 5.29(ข) แต่หลังจากทดสอบการกัดกร่อนแบบเร่งปฏิกิริยาในสัปดาห์ที่ 12 พบว่า โครงสร้างของผลึกมีการแตกออกและมีผลึกคล้ายแท่งเข็มเกิดมากขึ้นมาดังรูป 5.29(ก)



รูป 5.29 ลักษณะโครงสร้างภายในของอิฐ

(ก) ก่อนการทดสอบ

(ข) หลังการทดสอบการกัดกร่อนตามกระบวนการของธรรมชาติในสัปดาห์ที่ 12

(ค) ผลึกเกลือหลังการทดสอบการกัดกร่อนแบบเร่งปฏิกิริยาในสัปดาห์ที่ 12

เมื่อนำตัวอย่างอิฐข้างต้นไปวิเคราะห์หานิคและปริมาณธาตุ ด้วยเครื่องวิเคราะห์หานิคและปริมาณธาตุโดยรังสีเอ็กซ์ (Energy Dispersive X-ray Spectrometer, EDS) พบว่า ในอิฐก่อนการทดสอบมีคาร์บอน (C), ออกซิเจน (O), อะลูминิเนียม (Al), ซิลิกอน (Si), โพแทสเซียม (K) และเหล็ก (Fe) เป็นองค์ประกอบหลัก (ตาราง 5.6) หลังการทดสอบการกัดกร่อนตามกระบวนการของธรรมชาติ พบว่าคล้ำกับอิฐก่อนทดสอบ เพียงแต่ไม่พบคาร์บอน (C) ในบริเวณที่ศึกษา (ตาราง 5.7) แต่หลังการทดสอบการกัดกร่อนแบบเร่งปฏิกิริยา พบว่ามีธาตุแมกนีเซียม (Mg), กำมะถัน (S) และแคลเซียม (Ca) เกิดขึ้น (ตาราง 5.8) แสดงว่าผลึกสีขาวที่เกิดขึ้นอาจเป็นเกลือที่มีสารประกอบของแมกนีเซียมซัลเฟต ($MgSO_4$) และแคลเซียมซัลเฟต ($CaSO_4$) ซึ่งเป็นผลมาจากการเร่งปฏิกิริยา ด้วยกรดกำมะถัน

ตาราง 5.6 ผล EDS ของอิฐก่อนการทดสอบ

Element	Weight%	Atomic%
C	0.68	1.20
O	46.29	61.50
Al	13.82	10.89
Si	29.23	22.12
K	3.04	1.65
Fe	6.94	2.64
Totals	100.00	

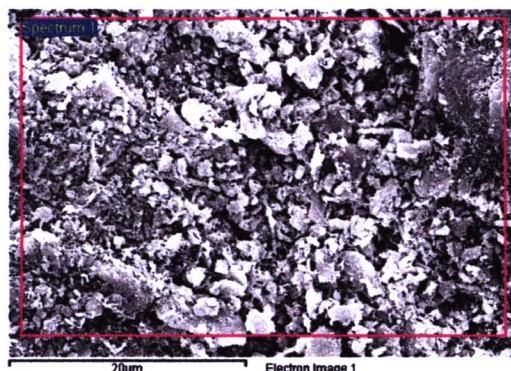
ตาราง 5.7 ผล EDS ของอิฐหลังการทดสอบ
การกัดกร่อนตามกระบวนการของธรรมชาติ

Element	Weight%	Atomic%
O	45.74	61.10
Al	14.73	11.67
Si	30.47	23.19
K	3.50	1.91
Fe	5.56	2.13
Totals	100.00	

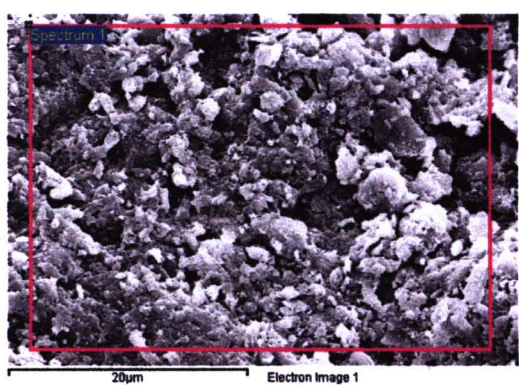
ตาราง 5.8 ผล EDS ของอิฐหลังการทดสอบ
แบบเร่งปฏิกิริยา

Element	Weight%	Atomic%
O	52.77	68.64
Mg	1.29	1.10
Al	9.29	7.16
Si	16.39	12.14
S	8.86	5.75
K	2.02	1.07
Ca	4.30	2.23
Fe	5.09	1.90
Totals	100.00	

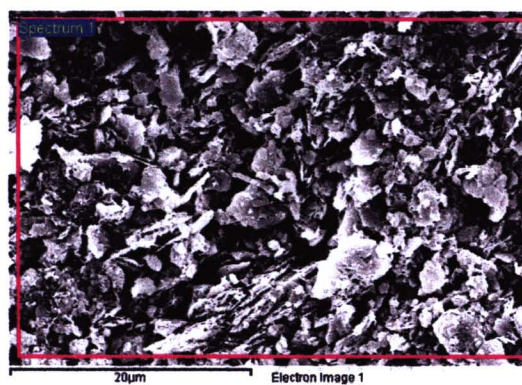
นอกจากนี้ ยังได้ทำการตรวจสอบปริมาณธาตุและโครงสร้างภายในของอิฐบันเจดี้ช์ริง ในพื้นที่อิ่มເກອນเมือง จังหวัดเชียงใหม่ ได้แก่ วัดพระธาตุดอยสุเทพ, วัดปืนเส้า และวัดอุโมงค์มหาธาตุ จันทร์ โดยผลการตรวจสอบที่ 3 ระดับความลึก ได้แก่ ความลึกระดับที่ 1 (0.25 ซม.), 2 (1.25 ซม.) และ 3 (2.25 ซม.) ดังรูป ข-4 ถึง ข-6 และจากการเปรียบเทียบโครงสร้างภายในของอิฐบันเจดี้ช์ริง ทั้งสามแห่งที่ความลึกระดับ 1 พบว่า ทั้งสามเจดี้มีลักษณะที่คล้ายคลึงกัน คือ โครงสร้างของผลึกแผลกออกจากกันเป็นก้อน โดยมีขนาดของก้อนผลึกใกล้เคียงกันดังรูป 5.30



(ก)



(ข)



(ค)

รูป 5.30 ลักษณะโครงสร้างภายในของอิฐเจ็จิ้ง

- (ก) วัสดุพระธาตุดอยสุเทพ
 (ข) วัสดุปันเส่า
 (ค) วัสดุอุโมงค์มหาสารจันทร์

เมื่อนำตัวอย่างของอิฐเจ็จิ้งไปวิเคราะห์ทางนิคและปริมาณธาตุ พบว่าอิฐของเจ็จิ้งวัดพระธาตุดอยสุเทพมีคาร์บอน (C), ออกซิเจน (O), อะลูมิเนียม (Al), ซิลิคอน (Si) และโพแทสเซียม (K) เป็นองค์ประกอบหลัก (ตาราง 5.9) ในอิฐของเจ็จิ้งวัสดุปันเส่า (ตาราง 5.10) และเจ็จิ้งวัสดุอุโมงค์มหาสารจันทร์ (ตาราง 5.11) พบว่ามีชนิดของธาตุคล้ายกับอิฐของวัสดุพระธาตุดอยสุเทพ แต่มีแคลเซียม (Ca) และเหล็ก (Fe) เพิ่มขึ้นในบริเวณที่ศึกษา

จากการวิเคราะห์ทางปริมาณธาตุของอิฐเจ็จิ้ง เมื่อนำมาเปรียบเทียบกับอิฐที่ใช้ในงานวิจัย จะเห็นว่าชนิดของธาตุที่ตรวจพบไม่แตกต่างกัน หรือเกือบจะเหมือนกันทั้งหมด ดังนั้นสามารถสรุปได้ว่า อิฐของเจ็จิ้งกับอิฐที่ใช้ในงานวิจัยเป็นอิฐชนิดเดียวกัน และจะมีพฤติกรรมของการเสื่อมสภาพเหมือนกับอิฐที่ใช้ในงานวิจัย ภายใต้การสัมผัสรคกำมะถันเพียงปัจจัยเดียว

ตาราง 5.9 ผล EDS ของอิฐเจคิวัคพาราบุคอยส์เทพ

Element	Weight%	Atomic%
C	6.29	10.47
O	42.87	53.52
Al	15.64	11.57
Si	32.24	22.93
K	2.96	1.51
Totals	100.00	

ตาราง 5.10 ผล EDS ของอิฐเจคิวัคปันเส่า

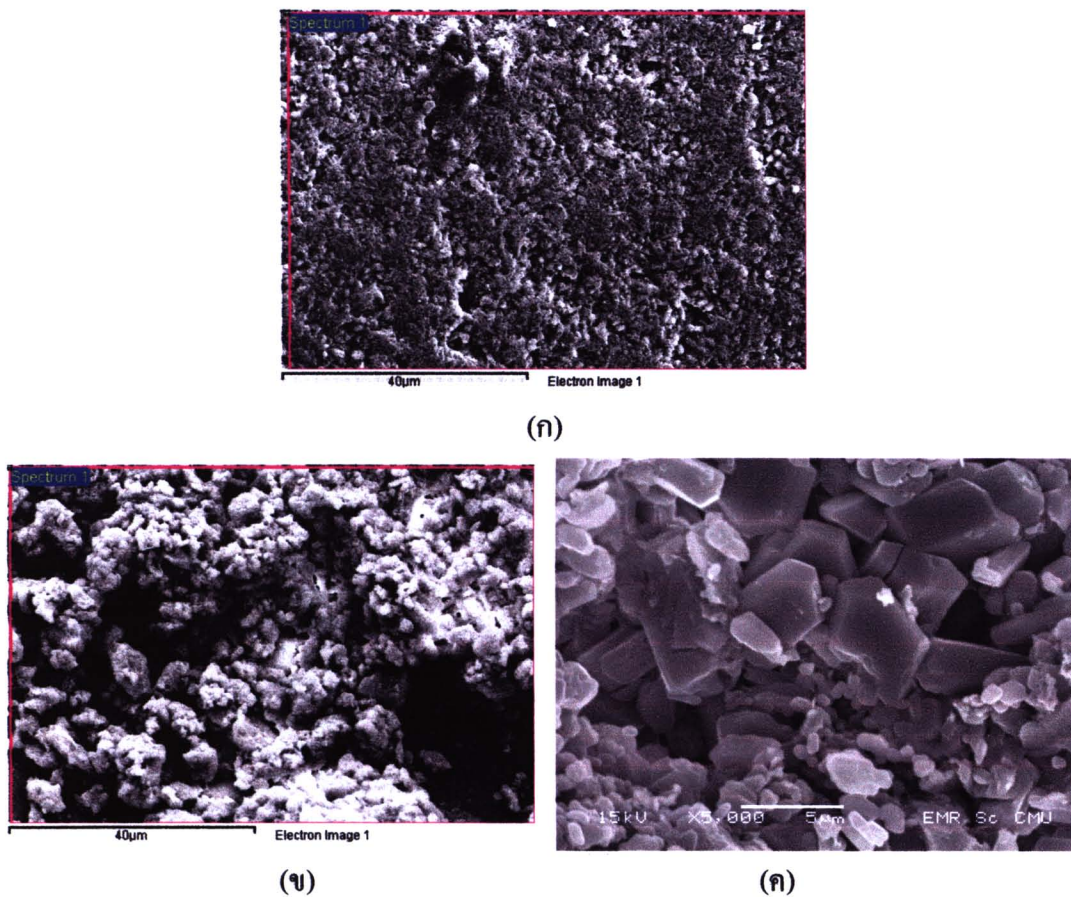
Element	Weight%	Atomie%
C	12.32	19.28
O	46.64	54.78
Al	12.22	8.51
Si	21.67	14.50
K	1.23	0.59
Ca	2.68	1.26
Fe	3.23	1.09
Totals	100.00	

ตาราง 5.11 ผล EDS ของอิฐเจคิวัคอุโนงค์มหาแรร์จันทร์

Element	Weight%	Atomic%
C	7.92	13.91
O	41.75	55.04
Al	8.90	6.96
Si	22.22	16.69
Ca	0.98	0.52
Fe	18.23	6.88
Totals	100.00	

2. นอร์ต้าร์

จากการตรวจสอบโครงสร้างภายในของนอร์ต้าร์ที่ 3 ระดับความลึก ได้แก่ ความลึกระดับที่ 1 (0.50 ซม.), 3 (4.50 ซม.) และ 4 (6.50 ซม.) ในสัปดาห์ที่ 12 ดังรูป ข-7 ถึง ข-9 และทำการเปรียบเทียบโครงสร้างภายในของนอร์ต้าร์ระดับความลึกที่ 1 พบว่า โครงสร้างของนอร์ต้าร์ก่อนการทดสอบ เนื้อผักมีความละเอียดเป็นเนื้อเดียวกัน ดังรูป 5.31(ก) หลังจากทดสอบทั้งแบบการกัดกร่อนตามกระบวนการของธรรมชาติและแบบเร่งปฏิกิริยา ในสัปดาห์ที่ 12 พบว่าเพล็กมีการแตกออกและมีช่องว่างพูนมากขึ้นดังรูป 5.31(ข) และ 5.31(ค)ตามลำดับ



รูป 5.31 ลักษณะโครงสร้างภายในของมอร์ต้าร์

- (ก) ก่อนการทดสอบ
- (ข) หลังการทดสอบการกัดกร่อนตามกระบวนการของธรรมชาติในสัปดาห์ที่ 12
- (ค) หลังการทดสอบการกัดกร่อนแบบเร่งปฏิกิริยาในสัปดาห์ที่ 12

เมื่อนำตัวอย่างมอร์ต้าร์ขึ้นด้านไปวิเคราะห์หานิคและปริมาณธาตุ พบร่วมกันในมอร์ต้าร์ก่อนการทดสอบมีคาร์บอน (C), อออกซิเจน (O), ซิลิกอน (Si), และแคลเซียม (Ca) เป็นองค์ประกอบหลัก (ตาราง 5.12) หลังการทดสอบการกัดกร่อนตามกระบวนการของธรรมชาติ พบร่วงล้ำกับมอร์ต้าร์ก่อนทดสอบ แต่มีอะลูминิเนียม (Al) และคลอเรน (Cl) เพิ่มขึ้นในบริเวณที่ศึกษา (ตาราง 5.13) ซึ่งอาจกล่าวได้ว่าอาจเป็นเกลือที่มีสารประกอบของแคลเซียมคลอไรด์ (CaCl_2) ส่วนหลังการทดสอบ การกัดกร่อนแบบเร่งปฏิกิริยา ไม่สามารถตรวจหาชนิดของธาตุได้ เนื่องจากหลังการทดสอบแบบเร่งปฏิกิริยา ทำให้เนื้อวัสดุเกิดการเปื้อยุบและผิววัสดุไม่เรียบ จึงส่งผลทำให้มอร์ต้าร์ไม่น่าไฟฟ้าในระหว่างทำการวิเคราะห์

ตาราง 5.12 ผล EDS ของมอร์ต้าร์ก่อนการทดสอบ

Element	Weight%	Atomic%
C	6.51	11.49
O	48.72	64.57
Si	1.15	0.87
Ca	43.63	23.08
Totals	100.00	

ตาราง 5.13 ผล EDS ของมอร์ต้าร์หลังการทดสอบการกัดกร่อนตามกระบวนการของธรรมชาติ

Element	Weight%	Atomic%
C	27.29	39.90
O	40.04	43.96
Al	0.97	0.63
Si	8.43	5.27
Cl	0.83	0.41
Ca	22.44	9.84
Totals	100.00	

5.6.3 การวิเคราะห์องค์ประกอบภายใน

จากการตรวจสอบองค์ประกอบภายในของวัสดุด้วยวิธีการ X-ray Diffraction (XRD) เพื่อเปรียบเทียบโครงสร้างภายในของตัวอย่างทดสอบก่อนและหลังการทดสอบ ดังนี้

- อิฐ จากการตรวจสอบองค์ประกอบภายในของอิฐก่อน และหลังการทดสอบที่ 3 ระดับความลึก ได้แก่ ความลึกระดับที่ 1 (0.25 ซม.), 3 (2.25 ซม.) และ 6 (5.25 ซม.) ดังรูป ข=18 ถึง ข-26 นำมาทำการเปรียบเทียบองค์ประกอบได้ดังตาราง 5.14

ตาราง 5.14 เปรียบเทียบองค์ประกอบภายในของอิฐก่อน และหลังการทดสอบ

ความลึก	อิฐก่อน การทดสอบ	อิฐหลังการทดสอบ		ผลิตภัณฑ์	
		ธรรมชาติ	เร่งปฏิกิริยา	ธรรมชาติ	เร่งปฏิกิริยา
ระดับที่ 1 0.25 ซม.	SiO ₂	SiO ₂	SiO ₂	CaCO ₃	CaSO ₄ ·2H ₂ O
	KAlSi ₃ O ₈	KAlSi ₃ O ₈	KAlSi ₃ O ₈		Ca(SO ₄) _{0.5} (H ₂ O) _{0.5}
	KAl ₂ Si ₃ AlO ₁₀ (OH) ₂	KAl ₂ Si ₃ AlO ₁₀ (OH) ₂	KAl ₂ Si ₃ AlO ₁₀ (OH) ₂		
	Ca ₄ Si ₅ O _{13.5} (OH) ₂	Na(AlSi ₃ O ₈)	CaSO ₄ ·2H ₂ O		
	CaCO ₃	CaCO ₃	Ca(SO ₄)(H ₂ O) _{0.5}		
ระดับที่ 3 2.25 ซม.	SiO ₂ , SiO ₂	SiO ₂	SiO ₂	CaCO ₃	-
	KAlSi ₃ O ₈	KAlSi ₃ O ₈	KAlSi ₃ O ₈		
	KAl ₂ Si ₃ AlO ₁₀ (OH) ₂	KAl ₂ Si ₃ AlO ₁₀ (OH) ₂	KAl ₂ Si ₃ AlO ₁₀ (OH) ₂		
	Al ₂ Si ₂ O ₅ (OH) ₄	Na(AlSi ₃ O ₈)	Na(AlSi ₃ O ₈)		
	CaCO ₃				
ระดับที่ 6 5.25 ซม.	SiO ₂	SiO ₂	SiO ₂	-	-
	KAlSi ₃ O ₈	KAlSi ₃ O ₈	KAlSi ₃ O ₈		
	KAl ₂ Si ₃ AlO ₁₀ (OH) ₂	KAl ₂ Si ₃ AlO ₁₀ (OH) ₂	KAl ₂ Si ₃ AlO ₁₀ (OH) ₂		
	Al ₂ Si ₂ O ₅ (OH) ₄	Na(AlSi ₃ O ₈)			

จากตาราง 5.14 มีองค์ประกอบที่วิเคราะห์พบดังนี้

- องค์ประกอบภายในของอิฐก่อนการทดสอบ ได้แก่ ควอเตช (Quartz, SiO₂), คริสโทบัลไลต์ (Cristobalite, SiO₂), ออร์โทคลาส (Orthoclase, KAlSi₃O₈), มัสโคไวต์ (Muscovite, KAl₂Si₃AlO₁₀(OH)₂), แคลเซียมซิลิเกต ไฮดรอกไซด์ (Calcium Silicate Hydroxide, Ca₄Si₅O_{13.5}(OH)₂) และเคลออลินิต (Kaolinite, Al₂Si₂O₅(OH)₄)

(2) องค์ประกอบภายในของอิฐหลังการทดสอบแบบธรรมชาติ ได้แก่ ควอร์ช (Quartz, SiO_2), ออร์โทเคลส (Orthoclase, KAlSi_3O_8), มัสโคไวต์ (Muscovite, $\text{KAl}_2\text{Si}_3\text{AlO}_{10}(\text{OH})_2$), และไบต์ (Albite, $\text{Na}(\text{AlSi}_3\text{O}_8)$), และแคลไซต์ (Calcite, CaCO_3)

(3) องค์ประกอบภายในของอิฐหลังการทดสอบแบบร่างปูนกิริยา ได้แก่ ควอร์ช (Quartz, SiO_2), ออร์โทเคลส (Orthoclase, KAlSi_3O_8), มัสโคไวต์ (Muscovite, $\text{KAl}_2\text{Si}_3\text{AlO}_{10}(\text{OH})_2$), และไบต์ (Albite, $\text{Na}(\text{AlSi}_3\text{O}_8)$) และแคลเซียมซัลฟัตไฮเดรต (Calcium Sulfate Hydrate, $\text{Ca}(\text{SO}_4)(\text{H}_2\text{O})_{0.5}$)

เมื่อพิจารณาองค์ประกอบภายในของอิฐก่อนและหลังการทดสอบพบว่า องค์ประกอบส่วนใหญ่เป็นองค์ประกอบของดินตามธรรมชาติที่เกิดจากหินและแร่ต่างๆ [18] โดยที่

SiO_2 เป็นองค์ประกอบของดินที่มาจากการกลุ่มแร่ชิลิกา

KAlSi_3O_8 และ $\text{Na}(\text{AlSi}_3\text{O}_8)$ เป็นองค์ประกอบของดินที่มาจากการกลุ่มแร่เฟล์สปาร์

$\text{KAl}_2\text{Si}_3\text{AlO}_{10}(\text{OH})_2$ เป็นองค์ประกอบของดินที่มาจากการกลุ่มแร่ไมกา

$\text{Ca}_4\text{Si}_5\text{O}_{13.5}(\text{OH})_2$ และ $\text{Al}_2\text{Si}_2\text{O}_5(\text{OH})_4$ เป็นองค์ประกอบของดินที่มาจากการกลุ่มแร่ดินเหนียว

ส่วนผลิตภัณฑ์ที่เกิดขึ้นในเนื้ออิฐพบว่าหลังการทดสอบ มี แคลไซต์ (CaCO_3), ชิปชั้น ($\text{CaSO}_4 \cdot 2\text{H}_2\text{O}$) และแคลเซียมซัลฟัตไฮเดรต ($\text{Ca}(\text{SO}_4)(\text{H}_2\text{O})_{0.5}$) เกิดขึ้น นั่นคือเกิดเกลือชิปชั้นหรือเกลือแคลเซียมซัลฟัตในความลึกระดับที่ 1 และ 3

ดังนั้นจึงสามารถสรุปได้ว่า ผลึกเกลือที่เกิดขึ้นในเนื้ออิฐ คือ แคลไซต์ (CaCO_3) และชิปชั้น ($\text{CaSO}_4 \cdot 2\text{H}_2\text{O}$) ซึ่งมีความสอดคล้องกับทฤษฎีที่กล่าวว่า เกลือแคลไซต์และเกลือชิปชั้นเป็นเกลือที่พนมากบนโนรพยายามสถาน [2, 10]

นอกจากนี้ จากการตรวจสอบองค์ประกอบภายในของอิฐบนเจดีย์ชิงที่ 3 ระดับความลึกได้แก่ ความลึกระดับที่ 1 (0.25 ซม.), 2 (1.25 ซม.) และ 3 (2.25 ซม.) ดังรูป ข-27 ถึง ข-35 นำมาสรุปองค์ประกอบได้ดังตาราง 5.15



ตาราง 5.15 องค์ประกอบภายในของอิฐบันเฉดยั่งยืน

ความลึก	อิฐเจดีย์วัสดุพระราชดุคอบสุเทพ	อิฐเจดีย์วัสดุปั้นเส่า	อิฐเจดีย์วัสดุไมงค์มหาเดรจันทร์
ระดับที่ 1 0.25 ซม.	SiO_2 KAlSi_3O_8 , KAlSi_3O_8 $\text{KAl}_2\text{Si}_3\text{AlO}_{10}(\text{OH})_2$ CaCO_3	SiO_2 KAlSi_3O_8	SiO_2 KAlSi_3O_8 $\text{KAl}_2\text{Si}_3\text{AlO}_{10}(\text{OH})_2$ $\text{CaSO}_4 \cdot 2\text{H}_2\text{O}$
ระดับที่ 2 1.25 ซม.	SiO_2 , SiO_2 KAlSi_3O_8 $\text{KAl}_2\text{Si}_3\text{AlO}_{10}(\text{OH})_2$ CaCO_3	SiO_2 KAlSi_3O_8	SiO_2 KAlSi_3O_8 , KAlSi_3O_8 $\text{KAl}_2\text{Si}_3\text{AlO}_{10}(\text{OH})_2$ $\text{Na}(\text{AlSi}_3\text{O}_8)$
ระดับที่ 3 2.25 ซม.	SiO_2 KAlSi_3O_8 , KAlSi_3O_8 $\text{KAl}_2\text{Si}_3\text{AlO}_{10}(\text{OH})_2$ CaCO_3	SiO_2 KAlSi_3O_8	SiO_2 KAlSi_3O_8 , KAlSi_3O_8 $\text{KAl}_2\text{Si}_3\text{AlO}_{10}(\text{OH})_2$ $\text{Na}(\text{AlSi}_3\text{O}_8)$
เกลือที่ พน	CaCO_3	-	$\text{CaSO}_4 \cdot 2\text{H}_2\text{O}$

องค์ประกอบภายในของอิฐบันเฉดยั่งยืนที่วิเคราะห์พบมีดังนี้

(1) องค์ประกอบภายในของอิฐเจดีย์วัสดุพระราชดุคอบสุเทพ ได้แก่ ควอร์ซ (Quartz, SiO_2), คริสโทนาไอลิต (Cristobalite, SiO_2), ออร์โทเคลส (Orthoclase, KAlSi_3O_8), ไมโครไคลน์ (Microcline, KAlSi_3O_8) มัสโคไวต์ (Muscovite, $\text{KAl}_2\text{Si}_3\text{AlO}_{10}(\text{OH})_2$) และแคลไชต์ (Calcite, CaCO_3)

(2) องค์ประกอบภายในของอิฐเจดีย์วัสดุปั้นเส่า ได้แก่ ควอร์ซ (Quartz, SiO_2) และออร์โทเคลส (Orthoclase, KAlSi_3O_8)

(3) องค์ประกอบภายในของอิฐเจดีย์วัสดุไมงค์มหาเดรจันทร์ ได้แก่ ควอร์ซ (Quartz, SiO_2), ออร์โทเคลส (Orthoclase, KAlSi_3O_8), ไมโครไคลน์ (Microcline, KAlSi_3O_8) มัสโคไวต์ (Muscovite, $\text{KAl}_2\text{Si}_3\text{AlO}_{10}(\text{OH})_2$) และซิปปั่น (Gypsum, $\text{CaSO}_4 \cdot 2\text{H}_2\text{O}$)

จากตาราง 5.15 วิเคราะห์พบผลิตภัณฑ์ที่เกิดจากปฏิกิริยาของก้าชัลเฟอร์โดยอกไชค์ในสภาวะจริงของธรรมชาติ คือ พนเกลือซิปปั่น ($\text{CaSO}_4 \cdot 2\text{H}_2\text{O}$) ในระดับความลึกที่ 1 ของอิฐเจดีย์วัสดุ อุ่นงค์มหาเดรจันทร์ และพนเกลือแคลไชต์ (CaCO_3) ในอิฐของวัสดุพระราชดุคอบสุเทพ และหากพิจารณาองค์ประกอบโดยรวมของอิฐเจดีย์ยั่งยืน จะเห็นได้ว่าองค์ประกอบส่วนใหญ่เป็นองค์ประกอบของศินตามธรรมชาติ ซึ่งคล้ายกับอิฐที่ใช้ในงานวิจัยนี้ ดังนั้นจึงสามารถสรุปได้ว่า

อิฐของเจดีย์จริงกับอิฐที่ใช้ในงานวิจัยเป็นอิฐชนิดเดียวกัน ทำมาจากดินชนิดเดียวกัน และจะมี พฤติกรรมของการเสื่อมสภาพเหมือนกับอิฐที่ใช้ในงานวิจัย ภายใต้การสัมผัสกรดกำมะถันเพียง ปัจจัยเดียว

2. นอร์ต้าร์ จากการตรวจสอบองค์ประกอบภายในของนอร์ต้าร์ก่อน และหลังการทดสอบที่ 3 ระดับความลึก ได้แก่ ความลึกระดับที่ 1 (0.50 ซม.), 3 (4.50 ซม.) และ 4 (6.50 ซม.) ดัง รูป ข-36 ถึง ข-44 นำมาทำการเปรียบเทียบองค์ประกอบได้ดังตาราง 5.16

ตาราง 5.16 เปรียบเทียบองค์ประกอบภายในของนอร์ต้าร์ก่อน และหลังการทดสอบ

ความลึก	นอร์ต้าร์ก่อน การทดสอบ	นอร์ต้าร์หลังการทดสอบ		ผลิตภัณฑ์	
		ธรรมชาติ	เร่งปฏิกิริยา	ธรรมชาติ	เร่งปฏิกิริยา
ระดับที่ 1 0.50 ซม.	SiO ₂	SiO ₂	SiO ₂	CaSO ₄ ·2H ₂ O	CaSO ₄ ·2H ₂ O
	KAlSi ₃ O ₈	KAlSi ₃ O ₈	KAlSi ₃ O ₈		CaSO ₄ ·0.62H ₂ O
	CaCO ₃	CaCO ₃	CaCO ₃		
	Ca(OH) ₂	Ca(OH) ₂	CaSO ₄ ·2H ₂ O		
		Na(AlSi ₃ O ₈)	CaSO ₄ ·0.62H ₂ O		
		CaSO ₄ ·2H ₂ O			
ระดับที่ 3 4.50 ซม.	SiO ₂	SiO ₂	SiO ₂ , SiO ₂	CaSO ₄ ·2H ₂ O	CaSO ₄ ·2H ₂ O
	CaCO ₃	KAlSi ₃ O ₈	KAlSi ₃ O ₈		
	Ca(OH) ₂	CaCO ₃	CaCO ₃		
		Ca(OH) ₂	Ca(OH) ₂		
		CaSO ₄ ·2H ₂ O	CaSO ₄ ·2H ₂ O		
			Ca ₄ Al ₆ O ₁₂ SO ₄		
			CaAl ₂ (Si ₂ Al ₂)O ₁₀ (OH) ₂		
ระดับที่ 4 6.50 ซม.	SiO ₂	SiO ₂	SiO ₂	-	CaSO ₄ ·2H ₂ O
	CaCO ₃	KAlSi ₃ O ₈	KAlSi ₃ O ₈		
	Ca(OH) ₂	CaCO ₃	CaCO ₃		
	Ca ₄ Al ₆ O ₁₂ SO ₄	Ca(OH) ₂	Ca(OH) ₂		
			CaSO ₄ ·2H ₂ O		
			CaAl ₂ (Si ₂ Al ₂)O ₁₀ (OH) ₂		

จากตาราง 5.16 มีองค์ประกอบที่วิเคราะห์พบดังนี้

(1) องค์ประกอบภายในของมอร์ตาร์ก่อนการทดสอบ ได้แก่ ควอร์ซ (Quartz, SiO_2), ในไครโอลิน (Microcline, KAlSi_3O_8), แคลไซต์ (Calcite, CaCO_3), ปอร์ตแลนด์ไซต์ (Portlandite, $\text{Ca}(\text{OH})_2$) และยีลิเมท (Yeelimite, $\text{Ca}_4\text{Al}_6\text{O}_{12}\text{SO}_4$)

(2) องค์ประกอบภายในของมอร์ตาร์หลังการทดสอบแบบธรรมชาติ ได้แก่ ควอร์ซ (Quartz, SiO_2), ในไครโอลิน (Microcline, KAlSi_3O_8), แคลไซต์ (Calcite, CaCO_3), อลไบต์ (Albite, $\text{Na}(\text{AlSi}_3\text{O}_8)$), ปอร์ตแลนด์ไซต์ (Portlandite, $\text{Ca}(\text{OH})_2$) และชิปชั่น (Gypsum, $\text{CaSO}_4 \cdot 2\text{H}_2\text{O}$)

(3) องค์ประกอบภายในของมอร์ตาร์หลังการทดสอบแบบเร่งปฏิกิริยา ได้แก่ ควอร์ซ (Quartz, SiO_2), คริสโทบาลายライト (Cristobalite, SiO_2), ในไครโอลิน (Microcline, KAlSi_3O_8), แคลไซต์ (Calcite, CaCO_3), ปอร์ตแลนด์ไซต์ (Portlandite, $\text{Ca}(\text{OH})_2$), ชิปชั่น (Gypsum, $\text{CaSO}_4 \cdot 2\text{H}_2\text{O}$), ยีลิเมท (Yeelimite, $\text{Ca}_4\text{Al}_6\text{O}_{12}\text{SO}_4$), แคลเซียมซัลเฟตไฮเดรต (Calcium Sulfate Hydrate, $\text{CaSO}_4 \cdot 0.62\text{H}_2\text{O}$) และมาร์การไรต์ (Margarite, $\text{CaAl}_2(\text{Si}_2\text{Al}_2)\text{O}_{10}(\text{OH})_2$)

เมื่อพิจารณาองค์ประกอบภายในของมอร์ตาร์ก่อนและหลังการทดสอบ สามารถอธิบาย องค์ประกอบต่างๆ ที่วิเคราะห์พบได้ดังนี้

CaCO_3 และ $\text{Ca}(\text{OH})_2$ เกิดจากกระบวนการผลิตและหนักปูนขาว ดังสมการที่ 1

SiO_2 เป็นองค์ประกอบของดินที่มาจากการถล่มแร่ซิลิ喀 [18]

KAlSi_3O_8 และ $\text{Na}(\text{AlSi}_3\text{O}_8)$ เป็นองค์ประกอบของดินที่มาจากการถล่มแร่เฟล์ดสปาร์

$\text{CaAl}_2(\text{Si}_2\text{Al}_2)\text{O}_{10}(\text{OH})_2$ เป็นองค์ประกอบของดินที่มาจากการถล่มแร่ไมกา

ส่วนผลิตภัณฑ์ที่เกิดขึ้นในเนื้อมอร์ตาร์ คล้ายกับผลิตภัณฑ์ที่เกิดขึ้นในเนื้ออิฐ คือ หลังการทดสอบแบบเร่งปฏิกิริยา มีชิปชั่น ($\text{CaSO}_4 \cdot 2\text{H}_2\text{O}$) และแคลเซียมซัลเฟตไฮเดรต ($\text{CaSO}_4 \cdot 0.62\text{H}_2\text{O}$) เกิดขึ้น นั้นคือเกิดเกลือชิปชั่นหรือเกลือแคลเซียมซัลเฟต โดยเกลือชิปชั่มนั้น เกิดขึ้นทั้งมอร์ตาร์ที่ทดสอบแบบธรรมชาติและแบบเร่งปฏิกิริยา

ดังนั้นจึงสามารถสรุปได้ว่า ผลึกเกลือที่เกิดขึ้นในเนื้อมอร์ตาร์ คือ ชิปชั่น ($\text{CaSO}_4 \cdot 2\text{H}_2\text{O}$) และการเร่งปฏิกิริยาด้วยกรดฟลูอิค ทำให้เกิดเกลือชนิดเดียวกับธรรมชาติและมีกลไกของการเสื่อมสภาพแบบเดียวกับธรรมชาติ

นอกจากนี้ จากการศึกษาการกัดกร่อนและวิเคราะห์องค์ประกอบภายในของวัสดุ 4 ประเภท ของโบราณสถานที่จังหวัดพระนครศรีอยุธยา [8] ได้ผลการวิเคราะห์ดังตาราง 5.17 โดยผลการวิเคราะห์องค์ประกอบมีความสอดคล้องกัน คือ ออกไซด์ของซัลเฟอร์ในธรรมชาติทั้งที่อยู่

รูปของก้าชชัลเฟอร์ไดออกไซด์หรือกรคกำมะถัน ก็สามารถทำให้เกิดเกลือบิปชั่นในเนื้อมอร์ต้าร์ ปูนหนัก และสร้างความเสียหายทำให้กับโบราณสถานที่สร้างจากอิฐดินเผาได้เช่นกัน แต่ผลการวิเคราะห์องค์ประกอบที่ได้ไม่สามารถนำมาเปรียบเทียบกับงานวิจัยนี้ได้โดยตรง เนื่องจากสมนติฐานของการทดสอบต่างกัน

ตาราง 5.17 เปรียบเทียบองค์ประกอบของวัสดุก่อน และหลังสัมผัสก้าชชัลเฟอร์ไดออกไซด์ [8]

วัสดุตัวอย่าง	ก่อนสัมผัส ก้าชชัลเฟอร์ไดออกไซด์	หลังสัมผัส ก้าชชัลเฟอร์ไดออกไซด์	ผลิตภัณฑ์
อิฐเก่า	ควอร์ซ, ไคลเซอไรต์	ควอร์ซ, ไคลเซอไรต์	*
อิฐปัจจุบัน	ควอร์ซ	ควอร์ซ, ไคลเซอไรต์	ไคลเซอไรต์
ปูนน้ำเก่า	ควอร์ซ, แคลไซซ์, แอนไไฮไดต์	ควอร์ซ, แคลไซซ์, แอนไไฮไดต์	*
ปูนน้ำปัจจุบัน	ควอร์ซ, แคลไซซ์, พอร์ตแลนด์ไซต์	ควอร์ซ, แคลไซซ์, แอนไไฮไดต์, ยิปซั่ม	แอนไไฮไดต์, ยิปซั่ม

หมายเหตุ * วิเคราะห์ไม่พบองค์ประกอบอื่นซึ่งเพิ่มขึ้นมาจากการคัดประกอบที่วิเคราะห์พบก่อนที่วัสดุ

ตัวอย่างจะสัมผัสก้าชชัลเฟอร์ไดออกไซด์